



ประสิทธิภาพการรับแรงเฉือนของคานคอนกรีตเสริมเหล็กที่เหล็กปลอกเป็นสนิม  
ในสถานะที่ต่างกัน

โดย

วศิน สุชาติพงษ์

วิทยานิพนธ์นี้เป็นส่วนหนึ่งของการศึกษาตามหลักสูตร  
วิศวกรรมศาสตรมหาบัณฑิต  
สาขาวิชาวิศวกรรมโยธา  
คณะวิศวกรรมศาสตร์ มหาวิทยาลัยธรรมศาสตร์  
ปีการศึกษา 2567

SHEAR PERFORMANCE OF REINFORCED CONCRETE BEAMS WITH  
CORROSION DAMAGED STIRRUPS

BY

WASIN SUCHATPONG



A THESIS SUBMITTED IN PARTIAL FULFILLMENT OF THE REQUIREMENTS  
FOR THE DEGREE OF MASTER OF ENGINEERING  
DEPARTMENT OF CIVIL ENGINEERING  
FACULTY OF ENGINEERING  
THAMMASAT UNIVERSITY  
ACADEMIC YEAR 2024

มหาวิทยาลัยธรรมศาสตร์

คณะวิศวกรรมศาสตร์

วิทยานิพนธ์

ของ

นาย วศิน สุชาติพงษ์

เรื่อง

ประสิทธิภาพการรับแรงเฉือนของคานคองกรีตเสริมเหล็กที่เหล็กปลอกเป็นสนิมในสภาวะที่ต่างกัน

ได้รับการตรวจสอบและอนุมัติให้เป็นส่วนหนึ่งตามหลักสูตร

วิศวกรรมศาสตร์มหาบัณฑิต (วิศวกรรมโยธา)

เมื่อวันที่ 21 ธันวาคม 2567

ประธานกรรมการคุมสอบวิทยานิพนธ์



(รองศาสตราจารย์ ดร. สายันต์ ศิริมนตรี)

กรรมการและอาจารย์ที่ปรึกษาวิทยานิพนธ์



(รองศาสตราจารย์ ดร. ชนะชัย ทองโฉม)

กรรมการสอบวิทยานิพนธ์



(ผู้ช่วยศาสตราจารย์ ดร. จินตหรา ลาววงศ์เกิด)

กรรมการและอาจารย์ที่ปรึกษาวิทยานิพนธ์ร่วม



(อาจารย์ ดร. เพ็ญพิชชา สนิทอินทร์)

คณบดี



(ศาสตราจารย์ ดร. สัญญา มิตรเอม)

หัวข้อวิทยานิพนธ์	ประสิทธิภาพการรับแรงเฉือนของคานคอนกรีตเสริมเหล็กที่เหล็กปลอกเป็นสนิมในสภาวะที่ต่างกัน
ชื่อผู้เขียน	วศิน สุชาติพงษ์
ชื่อปริญญา	วิศวกรรมศาสตรมหาบัณฑิต
สาขาวิชา/คณะ/มหาวิทยาลัย	วิศวกรรมโยธา วิศวกรรมศาสตร์ มหาวิทยาลัยธรรมศาสตร์
อาจารย์ที่ปรึกษาวิทยานิพนธ์	รองศาสตราจารย์ ดร. ชนะชัย ทองโฉม
ปีการศึกษา	2567

### บทคัดย่อ

งานวิจัยนี้มีวัตถุประสงค์เพื่อศึกษาพฤติกรรมการรับแรงเฉือน ของคานคอนกรีตเสริมเหล็กที่เหล็กปลอกเกิดสนิมในสภาวะที่ต่างกัน ตัวแปรที่ทำการศึกษาประกอบด้วย ระยะเวลาที่ใช้ในการเร่งปฏิกิริยาสนิม (30 และ 60วัน) โดยทำการทดสอบตัวอย่างคานคอนกรีตเสริมเหล็กที่มีขนาดหน้าตัด 15×20 เซนติเมตร ยาว 120 เซนติเมตร จำนวน 8 คาน กำหนดระยะเวลาในการเร่งสนิม 30 และ 60 วัน ภายใต้อุณหภูมิ 4 สภาวะ ได้แก่ สภาวะน้ำ สารละลายโซเดียมคลอไรด์ สารละลายแมกนีเซียมซัลเฟต และ สารละลายแคลเซียมไฮดรอกไซด์ ทำการทดสอบกำลังรับแรงเฉือนของคานเปรียบเทียบระหว่างคานที่เหล็กปลอกเกิดสนิมเนื่องจากกระบวนการเร่งปฏิกิริยาสนิมกับคานที่ไม่ได้ผ่านกระบวนการเร่งปฏิกิริยาสนิม (คานควบคุม) จากการทดสอบพบว่า คานคอนกรีตเสริมเหล็กที่สูญเสียเหล็กปลอกเนื่องจากการเร่งปฏิกิริยาสนิมจะมีกำลังรับแรงเฉือนลดลงขึ้นอยู่กับระดับการสูญเสียเหล็กปลอกที่เกิดในเหล็กเสริม เมื่อเหล็กปลอกเกิดสนิมมากขึ้นกำลังรับแรงเฉือนของคานจะลดลงมากขึ้นด้วย โดยคานตัวอย่างที่ทำการเร่งปฏิกิริยาสนิม 30 วัน ในสภาวะน้ำ สารละลายโซเดียมคลอไรด์ และ สารละลายแมกนีเซียมซัลเฟต รับน้ำหนักบรรทุกทุกได้ลดลง 3.1% 6.4% และ 3.5% ตามลำดับ คานตัวอย่างที่ทำการเร่งปฏิกิริยาสนิม 60 วัน ในสภาวะน้ำ สารละลายโซเดียมคลอไรด์ และ สารละลายแมกนีเซียมซัลเฟต รับน้ำหนักบรรทุกทุกได้ลดลง 11.4% 23.8% และ 15.4% ตามลำดับ ส่วนการเร่งปฏิกิริยาสนิมในสารละลายแคลเซียมไฮดรอกไซด์ สามารถรับน้ำหนักบรรทุกทุกได้ใกล้เคียงกับคานควบคุม เนื่องจากไม่เกิดสนิม

**คำสำคัญ:** แรงเฉือน, สนิม, พฤติกรรม, คอนกรีต, เหล็กเสริม

Thesis Title	SHEAR PERFORMANCE OF REINFORCED CONCRETE BEAMS WITH CORROSION DAMAGED STIRRUPS
Author	Wasin Suchatphong
Degree	Master of Engineering (Civil Engineering)
Major Field/Faculty/University	Civil Engineering Faculty of Engineering Thammasat University
Thesis Advisor	Assoc. Prof. Chanachai Thongchom, Ph.D.
Academic Year	2024

### Abstract

This research aims to investigate the shear behavior of reinforced concrete beams with corroded steel bars under different conditions. The variables studied include the duration of corrosion acceleration (30 and 60 days) by testing specimens of reinforced concrete beams with cross-sectional dimensions of 15x20 centimeters and a length of 120 centimeters, totaling 8 beams. Corrosion acceleration durations of 30 and 60 days were conducted under 4 different conditions: immersion in water, sodium chloride solution, magnesium sulfate solution, and calcium hydroxide solution. The shear strength of the beams with corroded steel bars was compared to that of beams without corrosion acceleration (control beams). The tests revealed that the shear strength of reinforced concrete beams decreases depending on the level of corrosion of the steel bars. As the corrosion of the steel bars increases, the shear strength of the beams decreases significantly. For example beam, the specimens subjected to 30 days of corrosion acceleration in water, sodium chloride solution, and magnesium sulfate solution experienced reductions in load-carrying capacity of 3.1%, 6.4%, and 3.5% respectively. Similarly, specimens subjected to 60 days of corrosion acceleration in water, sodium chloride solution, and magnesium sulfate solution experienced reductions in load-carrying capacity of 11.4%, 23.8%, and 15.4% respectively. However, when subjected to corrosion

acceleration in calcium hydroxide solution, the load-carrying capacity of the specimens was comparable to that of the control beams, as no corrosion occurred

**Keywords:** Shear force, Corrosion, Behavior, Concrete, Steel reinforcement



## กิตติกรรมประกาศ

งานวิจัยฉบับนี้สำเร็จได้ด้วยความกรุณาของ รองศาสตราจารย์ ดร.ชนะชัย ทองโถม อาจารย์ที่ปรึกษาซึ่งให้คำปรึกษาแนะนำ และช่วยตรวจสอบแก้ไขข้อบกพร่องของงานวิจัยนี้ ตลอดจนให้ความรู้ในเรื่องการออกแบบตัวอย่างการทดสอบ การเลือกใช้อุปกรณ์เครื่องมือต่างๆ อย่างเหมาะสม

ขอกราบขอบพระคุณ รองศาสตราจารย์ ดร.สายันต์ ศิริมนตรี ผู้ช่วยศาสตราจารย์ ดร.จินตหรา ลาววงศ์เกิด และ อาจารย์ ดร.เพ็ญพิชชา สนิทอินทร์ ที่ได้กรุณาสละเวลาให้คำแนะนำ และให้ข้อคิดเห็นต่างๆ ที่นำมาใช้ปรับปรุงข้อผิดพลาดต่างๆ ในงานวิจัยนี้ ขอกราบขอบพระคุณ เจ้าหน้าที่ห้องปฏิบัติการโยธาทุกท่านที่ให้ความช่วยเหลือด้านการใช้เครื่องมือและอุปกรณ์ในการทดสอบต่างๆ หากงานวิจัยฉบับนี้ก่อให้เกิดประโยชน์ต่อการพัฒนางานวิจัยในอนาคต นับเป็นความปิติยินดียิ่งที่ได้จัดทำงานวิจัยฉบับนี้ขึ้น และหากมีข้อผิดพลาดประการใด ผู้เขียนขออภัยไว้ ณ ที่นี้ด้วย

วศิน สุชาติพงษ์

## สารบัญ

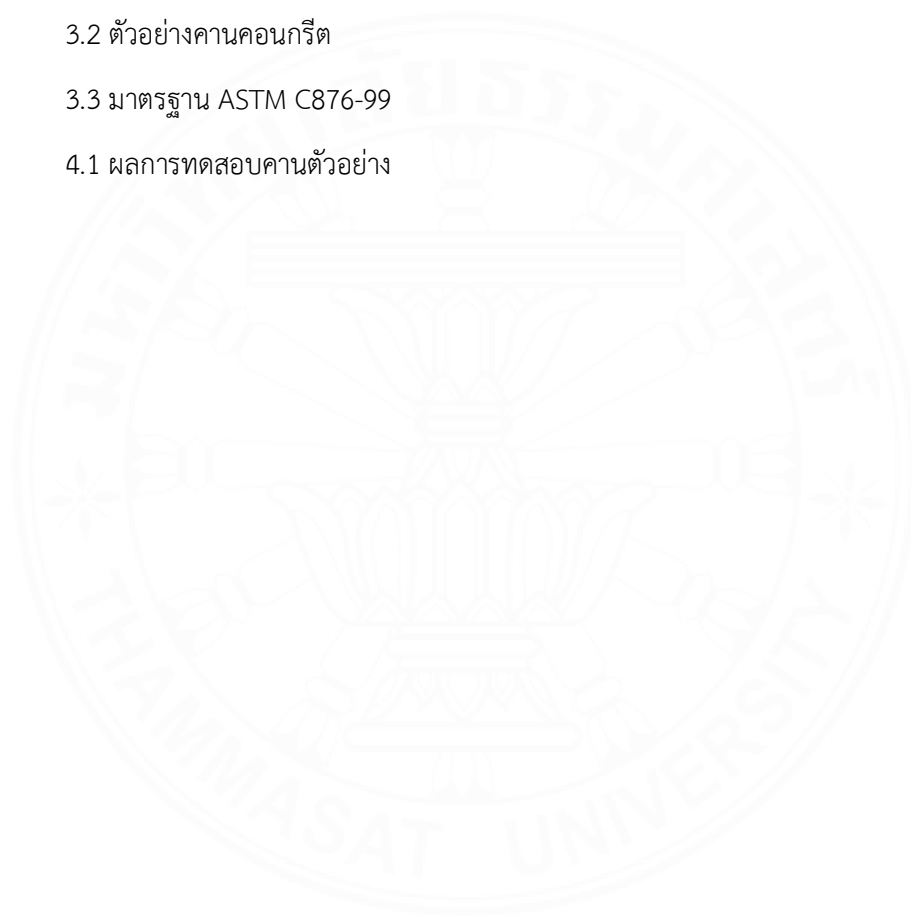
	หน้า
บทคัดย่อภาษาไทย	(1)
ABSTRACT	(2)
กิตติกรรมประกาศ	(4)
สารบัญตาราง	(8)
สารบัญรูปภาพ	(9)
รายการสัญลักษณ์และคำย่อ	(12)
บทที่ 1 บทนำ	1
1.1 ที่มาและความสำคัญของปัญหา	1
1.2 วัตถุประสงค์	1
1.3 ขอบเขตของงานวิจัย	2
1.4 ประโยชน์ที่คาดว่าจะได้รับ	2
บทที่ 2 ทฤษฎีและงานวิจัยที่เกี่ยวข้อง	3
2.1 คุณสมบัติวัสดุที่ใช้ทดสอบ	3
2.1.1 เหล็กเส้นกลม (Round Bars)	3
2.1.2 เหล็กเส้นข้ออ้อย	4
2.2 การเกิดสนิมในเหล็ก	5
2.3 การเกิดสนิมในเหล็กโดยคลอไรด์	6
2.4 การออกแบบคานคอนกรีตเสริมเหล็กโดยวิธีกำลัง ( Strength Design )	7

2.4.1	น้ำหนักบรรทุกทุกประลัยที่ใช้ออกแบบ	7
2.4.2	กำลังต้านทานหรือกำลังที่ออกแบบ	8
2.5	การวิเคราะห์และออกแบบคานคอนกรีตเสริมเหล็ก	8
2.5.1	การวิเคราะห์หน้าตัดคานคอนกรีตเสริมเหล็กรับแรงดึงอย่างเดียว	8
2.5.2	การออกแบบหน้าตัดเสริมเหล็กรับแรงดึงอย่างเดียวโดยวิธีกำลังประลัย	12
2.5.3	การวิเคราะห์หน้าตัดคานคอนกรีตเสริมเหล็กรับแรงดึงและแรงอัด	14
2.5.4	การออกแบบหน้าตัดคานคอนกรีตเสริมเหล็กรับแรงดึงและแรงอัด	15
2.6	การออกแบบเหล็กเสริมต้านทานแรงเฉือนและรงยึดหน่วง	17
2.6.1	กำลังรับแรงเฉือนที่สภาวะประลัย	17
2.6.2	รงยึดหน่วงประลัย	18
2.7	การทดลองผลของคานคอนกรีตเสริมเหล็กที่เกิดสนิมต่อการรับแรงดัด	19
2.8	การทดลองผลของเหล็กปลอกที่เป็นสนิมต่อพฤติกรรมการรับแรงเฉือนของคานคอนกรีตเสริมเหล็ก	22
2.9	ผลของการกัดกร่อนในเหล็กปลอกต่อกำลังรับแรงเฉือนของคานคอนกรีตเสริมเหล็กแบบสั้น	24
บทที่ 3	วิธีการวิจัย	27
3.1	ตัวแปรที่ใช้ในการศึกษา	27
3.2	วัสดุที่ใช้ในงานวิจัย	27
3.2.1	คอนกรีต	27
3.2.2	เหล็กเสริมคอนกรีตและเหล็กปลอก	27
3.3	อุปกรณ์ที่ใช้ในการทดสอบ	28
3.3.1	มัลติมิเตอร์	28
3.3.2	เครื่องมือทดสอบ Half-Cell Potential	28
3.3.3	Power Supply	29
3.3.4	สายไฟและตัวต้านทาน	29

3.4 การออกแบบตัวอย่าง	30
3.5 การเร่งปฏิกิริยาการเกิดสนิม	30
3.5.1 สารละลายที่นำมาเป็นตัวกลางทางไฟฟ้า	32
3.6 ทดสอบการเกิดสนิมของเหล็กปลอก	34
3.7 การติดตั้งเครื่องมือวัด	35
3.7.1 การติดตั้งเครื่องมือทดสอบแรงเฉือนแบบสี่ตำแหน่ง	35
3.8 วิธีการดำเนินงาน	36
บทที่ 4 ผลการศึกษา	39
4.1 ผลการทดสอบ	39
4.1.1 ผลการทดสอบคาน B30W	39
4.1.2 ผลการทดสอบคาน B60W	40
4.1.3 ผลการทดสอบคาน B30N	41
4.1.4 ผลการทดสอบคาน B60N	41
4.1.5 ผลการทดสอบคาน B30C	42
4.1.6 ผลการทดสอบคาน B30M	43
4.1.7 ผลการทดสอบคาน B60M	44
4.2 วิเคราะห์ผลการทดสอบ	45
4.2.1 การเปรียบเทียบน้ำหนักบรรทุกและการแอ่นตัว	45
บทที่ 5 บทสรุป	49
รายการอ้างอิง	50
ประวัติผู้เขียน	52

## สารบัญตาราง

ตารางที่	หน้า
2.1 คุณสมบัติของเหล็กเส้นกลม(มอก.20-2543)	4
2.2 คุณสมบัติของเหล็กเส้นข้อย(มอก.20-2536)	5
3.1 คุณสมบัติของเหล็กเสริมและเหล็กปลอก	27
3.2 ตัวอย่างคานคอนกรีต	30
3.3 มาตรฐาน ASTM C876-99	35
4.1 ผลการทดสอบคานตัวอย่าง	45



## สารบัญภาพ

ภาพที่	หน้า
2.1 เหล็กเส้นกลม	3
2.2 เหล็กเส้นข้ออ้อย	4
2.3 การวิเคราะห์หน้าตัดคานคอนกรีตเสริมเหล็กรับแรงดึงอย่างเดียว	9
2.4 การวิเคราะห์หน้าตัดคานคอนกรีตเสริมเหล็กรับแรงดึงอย่างเดียว	9
2.5 การออกแบบหน้าตัดเสริมเหล็กรับแรงดึงอย่างเดียวโดยวิธีกำลังประลัย	13
2.6 การวิเคราะห์หน้าตัดคานคอนกรีตเสริมเหล็กรับแรงดึงและแรงอัด	15
2.7 การออกแบบหน้าตัดคานคอนกรีตเสริมเหล็กรับแรงดึงและแรงอัด	16
2.8 กำลังรับแรงเฉือนที่สภาวะประลัย	17
2.9 รายละเอียดของคาน (Shamsad Ahmad, 2022)	19
2.10 การเชื่อมต่อวงจรถับคานคอนกรีต (Shamsad Ahmad, 2022)	20
2.11 การเชื่อมต่อวงจรถับคานคอนกรีต (Shamsad Ahmad, 2022)	20
2.12 ลักษณะรอยร้าวของคาน U, A, B, และ C (Shamsad Ahmad, 2022)	21
2.13 ความสัมพันธ์ระหว่างแรงกระทำและระยะการแอ่นตัว (Shamsad Ahmad, 2022)	21
2.14 ตารางผลการทดสอบ (Shamsad Ahmad, 2022)	22
2.15 รายละเอียดของคานทดสอบ (R H Shehab และคณะ, 2020)	22
2.16 รายละเอียดของคานทดสอบ (R H Shehab และคณะ, 2020)	23
2.17 ผลการทดสอบคาน (R H Shehab และคณะ, 2020)	23
2.18 ตัวอย่างคานทดสอบ (Ahmed K. EL-SAYED และคณะ)	24
2.19 รายละเอียดและหน้าตัดตัวอย่างคานทดสอบ (Ahmed K. EL-SAYED และคณะ)	25
2.20 กระบวนการเร่งการกัดกร่อน (Ahmed K. EL-SAYED และคณะ)	25
2.21 ผลการทดสอบคานตัวอย่าง (Ahmed K. EL-SAYED และคณะ)	26
3.1 มัลติมิเตอร์	28

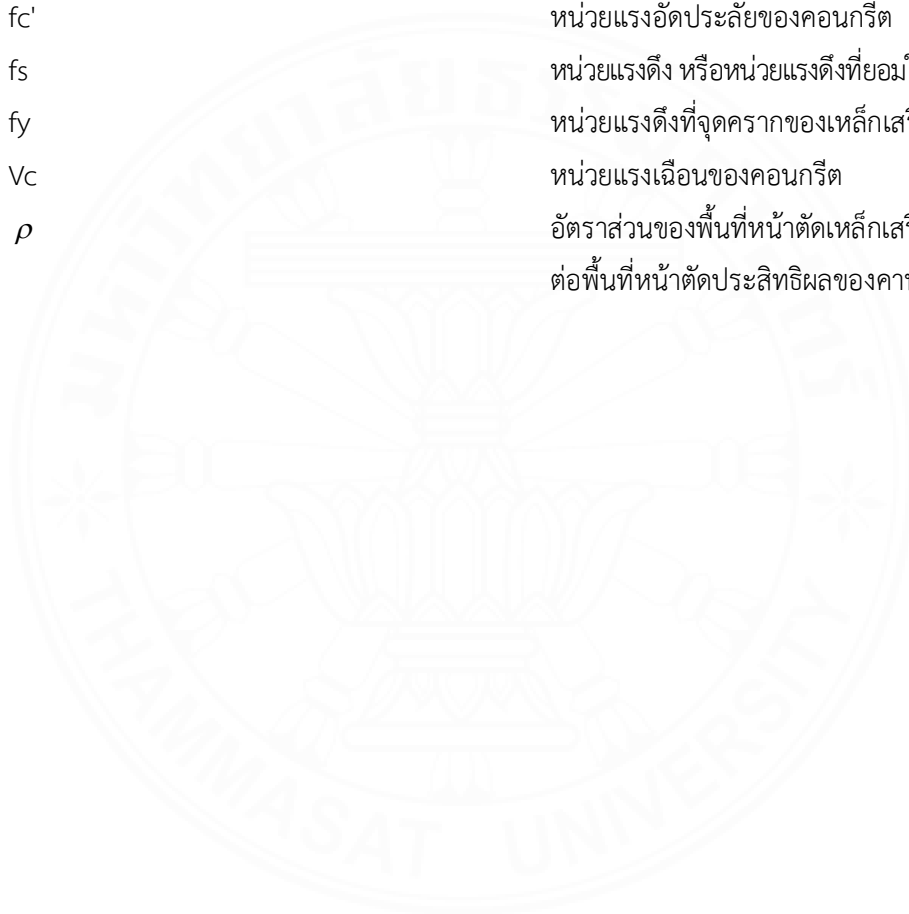
3.2 Half-Cell Potential	28
3.3 Power Supply	29
3.4 สายไฟฟ้าตัวนำทองแดง	29
3.5 ตัวต้านทาน	29
3.6 แสดงลักษณะของคานคอนกรีตตัวอย่าง	31
3.7 แสดงภาพตัวอย่างคานและหน้าตัดคาน	31
3.8 โซเดียมคลอไรด์(เกลือแกง)	32
3.9 แมกนีเซียมซัลเฟต	33
3.10 แคลเซียมไฮดรอกไซด์	33
3.11 กระบวนการเร่งปฏิกิริยาการเกิดสนิม	34
3.12 กระบวนการทดสอบ Half-Cell Potential	34
3.13 ขั้นตอนการจัดเตรียมการทดสอบ	35
3.14 ขั้นตอนการจัดเตรียมการทดสอบ	36
3.15 การเตรียมแบบหล่อคานคอนกรีตตัวอย่าง	36
3.16 การหล่อคานคอนกรีตตัวอย่าง	37
3.17 การเร่งปฏิกิริยาการเกิดสนิมที่เหล็กปลอกของคานตัวอย่าง	37
3.18 การทดสอบด้วยเครื่องมือทดสอบแรงดัดแบบสี่ตำแหน่ง	38
4.1 รอยร้าวแรกของคาน B30W หลังจากให้น้ำหนักบรรทุก	39
4.2 รอยร้าวและลักษณะการวิบัติของคาน B30W	40
4.3 รอยร้าวแรกของคาน B60W หลังจากให้น้ำหนักบรรทุก	40
4.4 รอยร้าวและลักษณะการวิบัติของคาน B60W	40
4.5 รอยร้าวแรกของคาน B30N หลังจากให้น้ำหนักบรรทุก	41
4.6 รอยร้าวและลักษณะการวิบัติของคาน B30N	41
4.7 รอยร้าวแรกของคาน B60N หลังจากให้น้ำหนักบรรทุก	42
4.8 รอยร้าวและลักษณะการวิบัติของคาน B60N	42

4.9 รอยร้าวแรกของคาน B30C หลังจากให้น้ำหนักบรรทุก	43
4.10 รอยร้าวและลักษณะการวิบัติของคาน B30C	43
4.11 รอยร้าวแรกของคาน B30M หลังจากให้น้ำหนักบรรทุก	44
4.12 รอยร้าวและลักษณะการวิบัติของคาน B30M	44
4.13 รอยร้าวแรกของคาน B60M หลังจากให้น้ำหนักบรรทุก	44
4.14 รอยร้าวและลักษณะการวิบัติของคาน B60M	45
4.15 ความสัมพันธ์ระหว่างกำลังรับน้ำหนักและการแอ่นตัวที่จุดกึ่งกลางคาน	46
4.16 ความสัมพันธ์ระหว่างกำลังรับน้ำหนักและการแอ่นตัวที่จุดกึ่งกลางคาน	46
4.17 ความสัมพันธ์ระหว่างกำลังรับน้ำหนักและการแอ่นตัวที่จุดกึ่งกลางคาน	47



## รายการสัญลักษณ์และคำย่อ

สัญลักษณ์/คำย่อ	คำเต็ม/คำจำกัดความ
As	พื้นที่หน้าตัดของเหล็กเสริมรับแรงดึง
b	ความกว้างของคาน
d	ความลึกประสิทธิภาพ
fc'	หน่วยแรงอัดประลัยของคอนกรีต
fs	หน่วยแรงดึง หรือหน่วยแรงดึงที่ยอมให้ของเหล็ก
fy	หน่วยแรงดึงที่จุดครากของเหล็กเสริม
Vc	หน่วยแรงเฉือนของคอนกรีต
$\rho$	อัตราส่วนของพื้นที่หน้าตัดเหล็กเสริมรับแรงดึง ต่อพื้นที่หน้าตัดประสิทธิภาพของคาน



## บทที่ 1

### บทนำ

#### 1.1 ที่มาและความสำคัญของปัญหา

ในปัจจุบันเป็นที่ทราบโดยทั่วไปแล้วว่า คอนกรีตมีคุณสมบัติในการรับแรงอัดได้สูง แต่ไม่สามารถทนต่อการรับแรงดึงได้ ซึ่งในโครงสร้างคอนกรีตนั้นอาจมีแรงดึงเกิดขึ้น เช่น ในกรณีของคานหรือพื้น ดังนั้นจึง ได้มีการนำเอาเหล็กซึ่งมีคุณสมบัติในการรับแรงอัดและแรงดึงได้ดี นำมาเสริมในโครงสร้างคอนกรีตซึ่งเรียกว่า คอนกรีตเสริมเหล็ก โดยเหล็กเสริมที่ใช้เสริมกำลังให้กับคอนกรีตโดยทั่วไปนั้น ได้แก่ เหล็กข้ออ้อย DB (Deformed Bar) เหล็กกลม RB (Round Bar) แต่เหล็กเสริมคอนกรีตนั้นแม้ว่าจะมีคุณสมบัติเชิงกลที่ดีแล้วก็ตาม ข้อด้อยของเหล็กเสริมคือสามารถเป็นสนิมได้ซึ่งจะส่งผลต่อประสิทธิภาพในการรับแรงของโครงสร้างคอนกรีตเสริมเหล็กเป็นอย่างมาก

ปกติเหล็กจะถูกใช้งานอยู่ในสภาพแวดล้อมที่มีค่า pH ประมาณ 7-8 และมีค่าศักย์ไฟฟ้าอยู่ในย่าน Corrosion หรือย่านการเกิดสนิม แต่เนื่องจากภายในคอนกรีตมีความเป็นด่างสูง (ค่า pH ประมาณ 12.6-13.8) ดังนั้นเหล็กเสริมในคอนกรีตจึงเปลี่ยนสถานะจากย่านการเกิดสนิม (Corrosion) ไปสู่ย่านการเกิดฟิล์ม (Passivity) ซึ่งเป็นย่านที่ผิวเหล็กจะเกิดออกไซด์ฟิล์มขึ้นป้องกันสนิมแต่อย่างไรก็ตามเหล็กของโครงสร้างคอนกรีตเสริมเหล็กสามารถสนิมได้โดยมีปัจจัยการเกิดสนิมอีกหลายปัจจัย โดยความรุนแรงของการเกิดสนิมจะมีความแตกต่างกันเมื่ออยู่ในสภาวะต่างๆ เนื่องจากมีปัจจัยที่ทำให้เกิดสนิมต่างกัน

การทดลองนี้ทำการศึกษาพฤติกรรมการรับแรงเฉือนของคานคอนกรีตเสริมเหล็กที่มีการเร่งปฏิกิริยาการเกิดสนิมของเหล็กปลอกในสภาวะ น้ำ สารละลายโซเดียมคลอไรด์ สารละลายแคลเซียมไฮดรอกไซด์ และสารละลายแมกนีเซียมซัลเฟต

#### 1.2 วัตถุประสงค์

1. เพื่อศึกษาพฤติกรรมการรับแรงเฉือนของคานคอนกรีตเสริมเหล็กที่มีการเร่งปฏิกิริยาการเกิดสนิมที่เหล็กปลอกในสภาวะน้ำ สารละลายโซเดียมคลอไรด์ สารละลายแคลเซียมไฮดรอกไซด์ และสารละลายแมกนีเซียมซัลเฟต

2. เพื่อศึกษาและวิเคราะห์ตัวแปรได้แก่ ระยะเวลาที่ใช้ในการเร่งปฏิกิริยาสนิมและสารละลายที่ใช้ในการเร่งปฏิกิริยาสนิม

### 1.3 ขอบเขตของงานวิจัย

ทำการทดสอบคานคอนกรีตเสริมเหล็กที่มีขนาดหน้าตัด 15×20 เซนติเมตร ยาว 120 เซนติเมตร จำนวน 8 คาน ที่เหล็กปลอกผ่านการเร่งสนิม กำหนดระยะเวลาในการเร่งสนิม 30 และ 60 วัน ภายใต้อุณหภูมิ 4 สภาวะได้แก่ สภาวะน้ำ สารละลายโซเดียมคลอไรด์ สารละลายแมกนีเซียมซัลเฟต และ สารละลายแคลเซียมไฮดรอกไซด์ ทำการทดสอบกำลังรับแรงเฉือนของคานเปรียบเทียบระหว่างคานที่เหล็กปลอกเกิดสนิมเนื่องจากกระบวนการเร่งปฏิกิริยาสนิมกับคานที่ไม่ได้ผ่านกระบวนการเร่งปฏิกิริยาสนิม (คานควบคุม)

### 1.4 ประโยชน์ที่คาดว่าจะได้รับ

1. เข้าใจพฤติกรรมการรับแรงเฉือนของคานคอนกรีตเสริมเหล็กในกรณีที่เหล็กปลอกเกิดสนิม ที่เปรียบเทียบภายใต้อุณหภูมิ 4 สภาวะ

2. เพื่อนำเสนอผลของ การเร่งสนิมที่เหล็กปลอกโดยกำหนดระยะเวลาต่างกัน และ สภาวะการเร่งสนิม 4 สภาวะ ว่าส่งผลอย่างไรต่อพฤติกรรมการรับแรงเฉือนและลักษณะการวิบัติของคาน

## บทที่ 2

### ทฤษฎีและงานวิจัยที่เกี่ยวข้อง

#### 2.1 คุณสมบัติวัสดุที่ใช้ทดสอบ

2.1.1 เหล็กเส้นกลม (Round Bars) หรือ RB คือเหล็กเส้นที่นำมาใช้ในงานก่อสร้างอาคาร เป็นเหล็กพื้นฐานช่วยเพิ่มความแข็งแรงและรับแรงโครงสร้างอาคาร โดยมักจะนำมาใช้ในงานคอนกรีตเสริมเหล็ก งานก่ออิฐทั่วไป และงานปลอกเสา คานต่างๆ เป็นต้น

เหล็กเส้นกลมคุณภาพดีต้องผ่านมาตรฐานอุตสาหกรรม มอก. 20-2559 เกรด SR 24 ซึ่งมีเส้นผ่านศูนย์กลางของเหล็กเส้นเริ่มต้นจาก 6 มม. - 34 มม. มีความยาวมาตรฐาน 10 และ 12 เมตร ตามลำดับ เหล็กขนาด 6 มม. - 9 มม. มักถูกใช้เป็นเหล็กปลอกเสา คาน ส่วนเหล็กขนาด 12 มม. ขึ้นไป จะใช้ในงานเสริมแกนโครงสร้างอาคาร



ภาพที่ 2.1 เหล็กเส้นกลม

## ตารางที่ 2.1 คุณสมบัติของเหล็กเส้นกลม(มอก 20-2543)

ชนิดเหล็ก	สัญลักษณ์	ความต้านทาน แรงดึงที่จุดคราก	ความต้านทาน แรงดึงที่จุด ประลัย	ความยืดในช่วง ความยาว 5 เท่า ของเส้นผ่านศูนย์กลาง
เหล็กกลม (Round Bar)	SR24	≥2400 ksc ≥235 Mpa	≥3900 ksc ≥385 Mpa	≥21 %

### 2.1.2 เหล็กเส้นข้ออ้อย

เหล็กเส้นข้ออ้อย คือ เหล็กที่มีครีบบั้งที่ผิวเหล็ก ซึ่งหน้าที่ของครีบบั้งคือช่วยให้เหล็กยึดเกาะกับคอนกรีตได้ดี ทำให้โครงสร้างอาคารคอนกรีตเสริมเหล็กมีความแข็งแรง เป็นเนื้อเดียวกัน ส่วนมากมักใช้ในงานก่อสร้างที่ต้องการเพิ่มความแข็งแรงให้กับคอนกรีต เช่น คาน เสา พื้นถนน สะพาน เขื่อน บ้าน อาคาร และงานก่อสร้างที่มีแรงอัดมากๆ เป็นต้น โดยเหล็กเส้นข้ออ้อยจะมีหลายขนาดและหลายความสามารถในการรับแรง ซึ่งเหมาะกับการใช้งานแตกต่างกัน เช่น เหล็กเส้นข้ออ้อย SD30 SD40 SD40S และ SD50

เหล็กเส้นข้ออ้อย SD30, SD40 และ SD50 เป็นเหล็กเส้นแบบเดียวกัน ที่มีเส้นผ่านศูนย์กลางขนาด 10 – 40 มม. และผลิตตามมาตรฐานอุตสาหกรรม (มอก.) 24-2559 แต่ความแตกต่างของเหล็กแต่ละแบบนี้จะอยู่ที่ค่ากำลังรับแรงดึงที่จุดคราก (มีหน่วยเป็นกิโลกรัมต่อตารางเซนติเมตร (กก. / ตร.ซม. หรือ ksc)) เช่น SD30 หมายถึงเหล็กข้ออ้อยที่มีกำลังรับแรงดึงที่จุดครากไม่น้อยกว่า 3,000 ksc ส่วน SD40 และ SD50 หมายถึง เหล็กข้ออ้อยที่มีกำลังรับแรงดึงที่จุดครากไม่น้อยกว่า 4,000 ksc และ 5,000 ksc ตามลำดับ



ภาพที่ 2.2 เหล็กเส้นข้ออ้อย

ตารางที่ 2.2 คุณสมบัติของเหล็กเส้นข้ออ้อย(มอก 20-2536)

ชนิดเหล็ก	สัญลักษณ์	ความต้านทานแรงดึงที่จุดคราก	ความต้านทานแรงดึงที่จุดประลัย	ความยืดในช่วงความยาว 5 เท่าของเส้นผ่านศูนย์กลาง
เหล็กข้ออ้อย (Deformed Bar)	SD30	≥3000 ksc ≥295 Mpa	≥4900 ksc ≥480 Mpa	≥17 %
	SD40	≥4000 ksc ≥390 Mpa	≥5700 ksc ≥560 Mpa	≥15 %
	SD50	≥5000 ksc ≥490 Mpa	≥6300 ksc ≥620 Mpa	≥13 %

## 2.2 การเกิดสนิมในเหล็ก

การเกิดสนิมในเหล็กเสริมเป็นขบวนการทางไฟฟ้า-เคมีที่มีองค์ประกอบคือ ความต่างศักย์ไฟฟ้าภายใน ความชื้นและออกซิเจน โดยปกติแล้วคอนกรีตจะมีสถานะความเป็นต่างสูงอันเนื่องมาจากแคลเซียมไฮดรอกไซด์จากปฏิกิริยาไฮเดรชันซึ่งมีค่า pH ประมาณ 12.5 - 13.5 ทำให้เกิดฟิล์มออกไซด์ของเหล็กเสริม ( $\gamma - Fe_2O_3$ : Gamma ferric oxide) ซึ่งเป็นแผ่นบางๆที่เรียกว่า Passivation Layer โดยที่แผ่นฟิล์มนี้ทำหน้าที่เคลือบผิวเหล็กเสริมไว้ไม่ให้เกิดสนิมจากการสัมผัสกับออกซิเจนและความชื้นโดยตรง ซึ่งจะทำให้ช่วยต้านทานการเกิดสนิมได้ดีในระดับหนึ่ง

เหล็กในคอนกรีตจะเป็นสนิมได้ก็ต่อเมื่อเงื่อนไขทั้ง 3 ประการนี้ต้องเกิดขึ้น

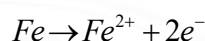
1. ความเป็นต่างในคอนกรีตลดลงจนถึงปฏิกิริยาอะโนดิก (Anodic process) สามารถเกิดได้ ซึ่งความเป็นต่างในระดับที่จะทำให้ปฏิกิริยาอะโนดิกเกิดขึ้นได้นั้น จะมีค่าของ pH ต่ำกว่าระดับ 9 ถึง 10 และมักจะเรียกว่าระดับวิกฤต (Critical level) ของความเป็นต่าง ความเป็นต่างในคอนกรีตลดลงได้ด้วย สาเหตุดังต่อไปนี้ คือ คาร์บอนเนชั่น (Carbonation) การซึมผ่านของคลอไรด์เข้าไปในคอนกรีต หรือ แม้แต่การชะล้างของน้ำฝนในกรณีที่คอนกรีตมีความพรุนมาก

2. มีความชื้นเพียงพอที่จะทำให้ ไอออนของเหล็ก ( $Fe^{2+}$ ) เข้าสู่สถานะสารละลาย และพอเพียงพอที่จะทำปฏิกิริยาในการเกิดสนิม ซึ่งโดยปกติความชื้นมักจะเพียงพออยู่ในบริเวณคอนกรีตที่หุ้มรอบๆเหล็กเสริมอยู่แล้ว

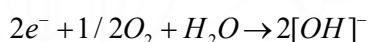
3. มีปริมาณออกซิเจนเพียงพอในการทำปฏิกิริยาเพื่อการเกิดสนิม ซึ่งปกติแล้วออกซิเจนในปริมาณที่เพียงพอในการเกิดสนิมมักจะแพร่เข้าสู่คอนกรีตบริเวณเหล็กเสริมโดยผ่านทาง

ช่องว่างที่ไม่อิ่มตัวด้วยน้ำ (Unsaturated pores) นั่นคือแพร่ผ่านอากาศในช่องว่าง แต่การแพร่ของออกซิเจนผ่านทางช่องว่างที่อิ่มตัวด้วยน้ำ (Saturated pores) จะเป็นไปได้ยาก เนื่องจากออกซิเจนละลายน้ำได้น้อยมากดังนั้น คอนกรีตที่อิ่มตัวด้วยน้ำอยู่ตลอดเวลาจะไม่เกิดสนิมในเหล็ก

การเกิดสนิมในเหล็กภายในคอนกรีตเสริมเหล็กนั้นเกิดจากการไหลของกระแสอิเล็กตรอน ผ่านตัวนำไฟฟ้าจากขั้วแอโนด (Anode) ไปยัง ขั้วแคโทด (Cathode) และการไหลของไอออนผ่านอิเล็กโทรไลต์เมื่อชั้นฟิล์มของเหล็กเสริมถูกทำลายจะมีศักย์ทางไฟฟ้าเป็นขั้วลบ เรียกว่า “ปฏิกิริยาอะโนดิก(Anodic Reaction)” เหล็กจะสูญเสียอิเล็กตรอน ดังสมการเคมี



โดยอิเล็กตรอนที่เกิดขึ้นมานี้จะเคลื่อนที่ไปยังบริเวณที่ชั้นฟิล์มไม่ได้ถูกทำลายล้าง ซึ่งมีศักย์ทางไฟฟ้าเป็นขั้วบวก (Cathodic) และทำปฏิกิริยากับน้ำและออกซิเจนเกิดเป็นไฮดรอกซิลไอออน  $[OH]^-$  เรียกว่า “ปฏิกิริยาคะโทดิก (Cathodic Reaction)” ดังสมการเคมี



จากสมการเคมี 2 สมการข้างต้น เหล็กไอออนจะทำปฏิกิริยากับไฮดรอกซิลไอออนและออกซิเจน เกิดเป็นเหล็กออกไซด์ซึ่งก็คือสนิม ดังสมการเคมี



### 2.3 การเกิดสนิมในเหล็กโดยคลอไรด์

คลอไรด์เป็นสาเหตุหนึ่งที่ทำให้เกิดการกัดกร่อนของเหล็กเสริมได้ โดยไอออนของคลอไรด์ (Chloride Ions) เป็นตัวการที่ทำให้ความเป็นต่างของคอนกรีตที่ป้องกันเหล็กเสริมไม่ให้เกิดสนิมลดลงและหลังถึงจุดวิกฤตแล้ว ถ้ามีน้ำและออกซิเจนเพียงพอ ก็จะทำให้เหล็กเกิดสนิมได้

โดยแหล่งที่มาของคลอไรด์อาจมีอยู่ในคอนกรีตเอง เช่น มีอยู่ในน้ำที่ใช้ผสมคอนกรีต หินทราย (โดยเฉพาะอย่างยิ่ง ในทรายจากแหล่งใกล้ทะเล) หรือน้ำยาผสมคอนกรีตบางชนิด เช่น แคลเซียมคลอไรด์ ที่มีอยู่ในสารเร่งการก่อตัว อย่างไรก็ตาม ได้มีการกำหนดมาตรฐานไว้สำหรับปริมาณคลอไรด์ที่ยอมรับได้ในคอนกรีต(วสท. 1014-40) แต่ปัญหาของคลอไรด์ที่กระทบต่อความ

ทนทานของคอนกรีตนั้น ส่วนมากจะมาจากภายนอกคอนกรีตในช่วงที่ใช้งาน เช่น จากน้ำทะเล จากดิน หรือจากเกลือที่ใช้ละลายน้ำแข็งในประเทศที่มีอากาศหนาว ซึ่งคลอไรด์อาจจะเข้าสู่ คอนกรีตได้โดยวิธี ดังต่อไปนี้

1. การซึมผ่านเข้าไปในคอนกรีตที่แห้งของน้ำที่มีคลอไรด์ (Capillary Suction)
2. การแพร่ของไอออนของคลอไรด์ (Chloride Ions) จากภายนอกที่มีความเข้มข้นของคลอไรด์สูงกว่าภายในของคอนกรีต
3. การซึมผ่านเข้าไปในคอนกรีตของน้ำที่มีคลอไรด์ โดยแรงดันของน้ำ

โดยทั่วไปแล้วแหล่งของคลอไรด์ที่มีผลกระทบต่อโครงสร้างคอนกรีตนั้นมาจากน้ำทะเล สำหรับคอนกรีตที่แช่อยู่ในน้ำทะเลตลอดเวลา นั้น ถึงแม้คลอไรด์สามารถซึมผ่านเข้าไปในคอนกรีตได้ดี แต่ถ้าไม่มีออกซิเจน การเกิดสนิมของเหล็กเสริมก็ไม่สามารถเกิดขึ้นได้ จึงไม่เป็นปัญหานัก ความเสี่ยงที่จะเกิดการกัดกร่อนของเหล็กเสริมมากที่สุด มักพบในบริเวณคลื่นและละออง น้ำ (Splash Zone) รองลงมาเป็นบริเวณบรรยากาศทะเล (Atmospheric Zone) และบริเวณน้ำขึ้นน้ำลง (Tidal Zone) ส่วนบริเวณใต้น้ำทะเล (Submerged Zone) จะมีความเสี่ยงต่อการกัดกร่อนเหล็ก เสริม น้อยมาก เนื่องจากในบริเวณใต้น้ำทะเล ความเข้มข้นของออกซิเจนน้อย และอัตราการแพร่ของออกซิเจนเข้าไปในคอนกรีตต่ำมาก เพราะช่องว่างภายในคอนกรีตเป็นช่องว่างอิมมิดด้วยน้ำ ซึ่งออกซิเจนละลายน้ำได้น้อยมาก ทำให้อัตราการแพร่เกิดขึ้นน้อย

## 2.4 การออกแบบคานคอนกรีตเสริมเหล็กโดยวิธีกำลัง (Strength Design)

การออกแบบโดยวิธีกำลังประลัย จะใช้น้ำหนักบรรทุกทุกประลัยซึ่งเป็นน้ำหนักที่คาดว่าจะ เป็นน้ำหนักที่ทำให้เกิดการวิบัติของโครงสร้างและใช้กำลังประลัยของคอนกรีต ( $f'_c$ ) และ เหล็กเสริม ( $f_y$ ) ในการออกแบบชิ้นส่วนคอนกรีตเสริมเหล็ก ซึ่งจะพิจารณาโครงสร้างในสภาวะที่รับแรงซึ่งมากกว่าแรงขณะใช้งาน โดยที่ใกล้เคียงกับการวิบัติของโครงสร้าง ดังนั้นจึงออกแบบได้ใกล้เคียงกับ สภาวะจริงมากกว่า ในการออกแบบให้ปลอดภัย

### 2.4.1 น้ำหนักบรรทุกทุกประลัยที่ใช้ออกแบบ

มาตรฐานการออกแบบของอเมริกัน (ACI Code) ก่อนปี 2002 กำหนดน้ำหนักบรรทุกที่คูณด้วย Load Factor แล้วดังนี้

$$U = 1.4D + 1.7L$$

U = น้ำหนักบรรทุกที่คูณด้วย Load Factor แล้ว

D = น้ำหนักหรือผลของน้ำหนักบรรทุกคงที่ (ใช้งาน)

L = น้ำหนักหรือผลของน้ำหนักบรรทุกจร (ใช้งาน)

มาตรฐานการออกแบบตามข้อบัญญัติของกรุงเทพมหานคร หรือ กฎกระทรวง กำหนดน้ำหนักบรรทุกที่คูณด้วย Load Factor แล้วดังนี้

$$U = 1.7D + 2.0L$$

ผลของน้ำหนักบรรทุก (Load effect) เช่น โมเมนต์ดัดหรือแรงเฉือน ที่ได้จากการวิเคราะห์โครงสร้างตามมาตรฐานการออกแบบแล้วจะถือว่าเป็น กำลังที่ต้องการ (Required Strength) ซึ่งจะต้องออกแบบให้หน้าตัดมีกำลังต้าน (Resistance) ไม่น้อยกว่าค่าดังกล่าว

#### 2.4.2 กำลังต้านทานหรือกำลังที่ออกแบบ

กำลังต้านทานตามมาตรฐาน ACI จะเรียกว่า กำลังที่ออกแบบ (Design Strength) ซึ่งสามารถคำนวณได้จากกำลังต้านแบบ Nominal (Nominal Strength) คูณด้วยตัวคูณลดกำลัง (Strength Reduction Factor หรือ Resistance Factor ,  $\phi$ ) กำลังต้านทานแบบ Nominal จะคำนวณได้โดยกำหนดให้หน่วยแรงในคอนกรีตและเหล็กเสริมถึงค่ากำลังสูงสุดที่วัสดุต้านทานได้

= 0.9 สำหรับโมเมนต์ดัด

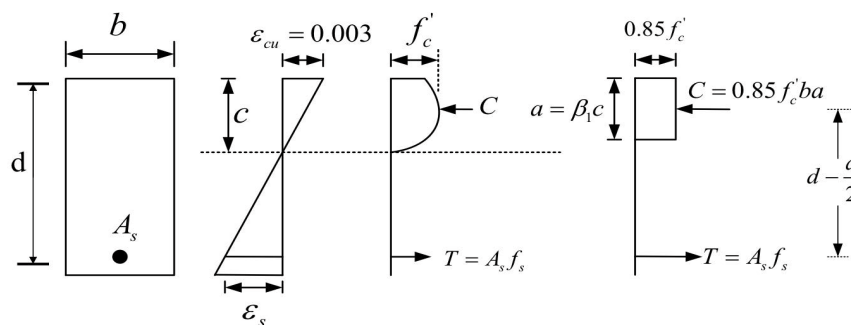
= 0.85 สำหรับแรงเฉือน แรงยึดเหนี่ยว

= 0.75 สำหรับเสาปลอกเกลียว

= 0.7 สำหรับเสาปลอกเดี่ยว

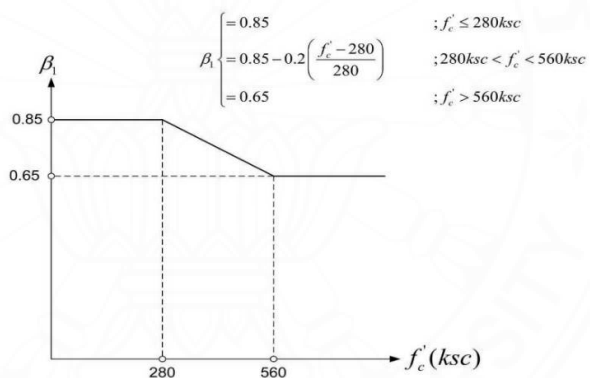
### 2.5 การวิเคราะห์และออกแบบคานคอนกรีตเสริมเหล็ก

#### 2.5.1 การวิเคราะห์หน้าตัดคานคอนกรีตเสริมเหล็กรับแรงดึงอย่างเดียว



ภาพที่ 2.3 การวิเคราะห์หน้าตัดคานคอนกรีตเสริมเหล็กรับแรงดึงอย่างเดียว

เมื่อทราบคุณสมบัติของ คอนกรีต และเหล็กเสริม ทราบขนาดหน้าตัด และ ปริมาณเหล็กเสริม สามารถคำนวณหาโมเมนต์ดัดที่หน้าตัดได้ที่สภาวะประลัย หรือกำลังต้านโมเมนต์ ของหน้าตัด



ภาพที่ 2.4 การวิเคราะห์หน้าตัดคานคอนกรีตเสริมเหล็กรับแรงดึงอย่างเดียว

สมการสมดุล

ผลรวมของแรงในแนวราบเท่ากับศูนย์

$$0.85f'_c a = A_s f_s$$

$$a = \frac{A_s f_s}{0.85f'_c b}$$

โมเมนต์ดัดประลัยต้านทานโดยวัสดุต้องเท่ากับโมเมนต์กระทำภายนอก  
กรณีคิดโมเมนต์ดัดต้านทานจากแรงดึงในเหล็กเสริม

$$M_n = Tjd = A_s f_s \left( d - \frac{a}{2} \right)$$

กรณีคิดโมเมนต์ดัดต้านทานจากแรงอัดในคอนกรีต

$$M_u = \phi M_n = \phi A_s f_s \left( d - \frac{a}{2} \right)$$

มาตรฐานการออกแบบของอเมริกัน ACI Code ได้คำนึงความแปรผันของกำลัง  
วัสดุจึงกำหนดให้ลดกำลังต้านทานโมเมนต์ดัดของหน้าตัดคานด้วย ตัวคูณลดกำลัง ( Resistance  
factor or Strength reduction factor )

$$\phi = 0.9$$

ดังนั้น ในการคำนวณกำลังต้านทานโมเมนต์ดัดจะคำนวณได้จากสมการ  
กรณีคิดโมเมนต์ดัดต้านทานจากแรงดึงในเหล็กเสริม

$$M_u = \phi M_n = \phi A_s f_s \left( d - \frac{a}{2} \right)$$

กรณีคิดโมเมนต์ดัดต้านทานจากแรงอัดในคอนกรีต

$$M_u = \phi M_n = \phi 0.85 f_c' b a \left( d - \frac{a}{2} \right)$$

สมการความต่อเนื่อง : ใช้ในการตรวจสอบว่าเหล็กเสริมถึงจุด yield หรือไม่

$$c = \frac{\varepsilon_{cu}}{\varepsilon_s + \varepsilon_{cu}} d = \frac{0.003}{\varepsilon_s + 0.003} d$$

$$\varepsilon_s = 0.003 \frac{d}{c} - 0.003$$

ที่สภาวะประลัยการวิบัติของหน้าตัดเนื่องจากการตัดเป็นไปได้อีก 3 กรณี

1. กรณีหน่วยแรงและความเครียดในเหล็กเสริมถึงจุดครากพอดี หน่วยแรงและความเครียดของคอนกรีตถึงสภาวะประลัยพอดี สภาวะดังกล่าวเรียกว่า สภาวะสมดุล (Balanced condition) โมเมนต์ดัดประลัยที่ต้านทานโดยหน้าตัดคอนกรีตเสริมเหล็กจะคำนวณได้จากสมการ

$$M_u = \phi M_n = \phi A_s f_s \left(d - \frac{a}{2}\right)$$

$$M_u = \phi M_n = \phi 0.85 f_c' b a \left(d - \frac{a}{2}\right)$$

$$a = \frac{A_s f_y}{0.85 f_c' b}$$

เมื่อหน่วยแรงดึงในเหล็กเสริมเท่ากับ  $f_y$  และหน่วยแรงอัดในคอนกรีตเท่ากับ  $f_c'$

2. กรณีความเครียดในเหล็กเสริมเกินกว่าจุดครากแต่หน่วยแรงในเหล็กเสริมจะยังคงเป็นหน่วยแรงที่จุดคราก ส่วนหน่วยแรงและความเครียดของคอนกรีตถึงสภาวะประลัยพอดี หน้าตัดที่ทำให้เกิดสภาวะดังกล่าวเรียกว่า หน้าตัดเสริมเหล็ก (เมื่อเทียบกับหน้าตัดคอนกรีต) น้อยกว่าสภาวะสมดุล (Under reinforced section) โมเมนต์ดัดประลัยที่ต้านทานโดยหน้าตัดคอนกรีตเสริมเหล็กจะคำนวณได้จากสมการ

$$M_u = \phi M_n = \phi A_s f_s \left(d - \frac{a}{2}\right)$$

$$M_u = \phi M_n = \phi 0.85 f_c' b a \left(d - \frac{a}{2}\right)$$

$$a = \frac{A_s f_y}{0.85 f_c' b}$$

3. กรณีความเครียดในเหล็กเสริมยังไม่ถึงจุดครากหน่วยแรงในเหล็กเสริมจะน้อยกว่าหน่วยแรงที่จุดคราก ยังอยู่ในช่วงยืดหยุ่นและเป็นไปตามกฎของฮุก ส่วนหน่วยแรงและความเครียดของคอนกรีตถึงสภาวะประลัยพอดี หน้าตัดที่ทำให้เกิดสภาวะดังกล่าวเรียกว่า หน้าตัดเสริมเหล็ก(เมื่อเทียบกับหน้าตัดคอนกรีต)มากกว่าสภาวะสมดุล(Over reinforced section) โมเมนต์ดัดประลัยที่ต้านทานโดยหน้าตัดคอนกรีตเสริมเหล็กจะคำนวณได้จากสมการ

$$M_u = \phi M_n = \phi A_s f_s \left(d - \frac{a}{2}\right)$$

หรือ

$$M_u = \phi M_n = \phi 0.85 f_c' b a \left(d - \frac{a}{2}\right)$$

$$a = \frac{A_s f_y}{0.85 f_c' b} = \beta_1 c$$

$$f_s = \varepsilon_s E_s = \left( 0.003 \frac{d}{c} - 0.003 \right) E_s$$

แทนค่า  $f_s$  และ  $a = \beta_1 c$  ในสมการสมดุล

$$0.85 f_c' a = A_s f_s$$

แล้วจัดเทอมใหม่จะได้ว่า

$$(0.85 \beta_1 f_c' b) c^2 + (0.003 A_s E_s) c - 0.003 d A_s E_s = 0$$

จากนั้นแก้สมการหาค่า  $c$  แล้วคำนวณหาหน่วยแรงในเหล็กเสริมจาก

$$f_s = \varepsilon_s E_s = \left( 0.003 \frac{d}{c} - 0.003 \right) E_s$$

เมื่อทราบค่าหน่วยแรงในเหล็กเสริมซึ่งมีค่าน้อยกว่าหน่วยแรงที่จุดครากก็สามารถคำนวณหาโมเมนต์ดัดประลัยที่หน้าตัดด้านทานได้

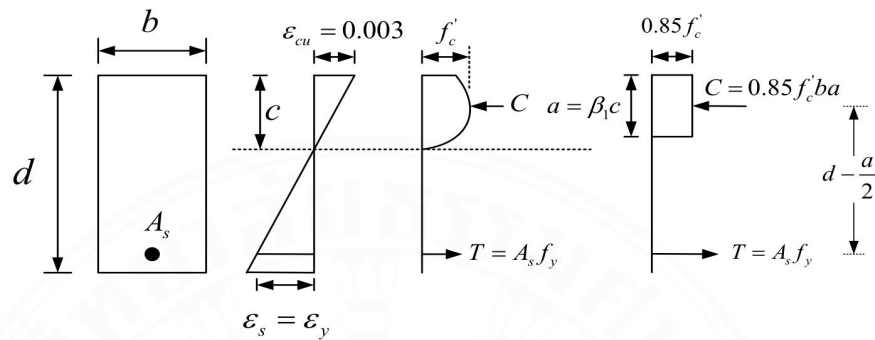
### 2.5.2 การออกแบบหน้าตัดเสริมเหล็กรับแรงดึงอย่างเดียวยังวิธีกำลังประลัย

ในการออกแบบจะมีหลักการที่ต่างกับวิธีหน่วยแรงใช้งานซึ่งจะออกแบบที่สถานะสมดุลโดยหน่วยแรงในคอนกรีตและเหล็กเสริมจะถึงหน่วยแรงที่ยอมให้พอดี ส่วนวิธีกำลังประลัยจะออกแบบให้เป็นหน้าตัดเสริมเหล็ก น้อยกว่าสถานะสมดุล (Under reinforced section) ขณะเกิดการวิบัติของหน้าตัดเนื่องจากโมเมนต์ดัด ความเครียดในคอนกรีตจะถึงสถานะประลัย ( $\varepsilon_{cu} = 0.003$ ) ส่วนความเครียดในเหล็กเสริมจะมากกว่าที่จุดคราก  $\varepsilon_s > \varepsilon_y$  แต่หน่วยแรงในเหล็กเสริมจะยังคงเป็นหน่วยแรงที่จุดคราก  $f_s > f_y$  เนื่องจากการสมมุติให้เหล็กไม่เกิด Strain hardening แต่เกิดการไหลแบบพลาสติก (Plastic flow)

เพื่อให้มั่นใจว่าเหล็กเสริมจะถึงจุดครากขณะเกิดการวิบัติซึ่งจะเป็นการวิบัติแบบเหนียว (Ductile failure) และ มีการเตือนมาตรฐานการออกแบบของอเมริกัน (ACI) กำหนดให้

ควบคุมปริมาณเหล็กเสริมโดยกำหนดให้  $\rho = \frac{A_s}{bd}$  ต้องไม่เกินกว่า 75% ของ  $\rho$  ที่สภาวะสมดุล  
 $\rho < 0.75\rho_b$

ปริมาณเหล็กเสริมที่สภาวะสมดุล



ภาพที่ 2.5 การออกแบบหน้าตัดเสริมเหล็กรับแรงดึงอย่างเดียวยังวิธีกำลังประลัย

ที่สภาวะสมดุลความเครียดในเหล็กเสริมจะถึงจุดคราก และความเครียดในคอนกรีตจะถึงจุดประลัยพอดี สภาวะดังกล่าวไม่มีการเตือนและเป็นการวิบัติแบบเปราะ (Brittle failure)

สมการสมดุล

$$0.85f'_c ab = A_s f_y$$

$$0.85f'_c \beta_1 cb = A_s f_y$$

สมการความต่อเนื่อง ( Compatibility )

$$c = \frac{\varepsilon_{cu}}{\varepsilon_s + \varepsilon_{cu}} d = \frac{0.003}{\varepsilon_s + 0.003} d$$

แทนลงในสมการสมดุลจะหาเปอร์เซ็นต์เหล็กเสริมที่สภาวะสมดุลได้

$$\rho_b = 0.85\beta_1 \frac{f'_c}{f_y} \left( \frac{0.003}{0.003 + \varepsilon_y} \right)$$

เมื่อ  $\varepsilon_y = \frac{f_y}{E_s}$  ถ้าแทนค่า  $E_s = 2.04(10)^6$  ksc

$$\rho_b = 0.85\beta_1 \frac{f'_c}{f_y} \left( \frac{6117}{6117 + f_y} \right)$$

$$\frac{14}{f_y} \leq \rho \leq 0.75\rho_b$$

$$M_u = \phi M_n = \phi A_s f_y \left( d - \frac{a}{2} \right)$$

$$a = \frac{A_s f_y}{0.85 f'_c b}$$

แทนค่า a ลงในสมการ  $M_u$  แล้วจัดเทอมจะได้ว่า

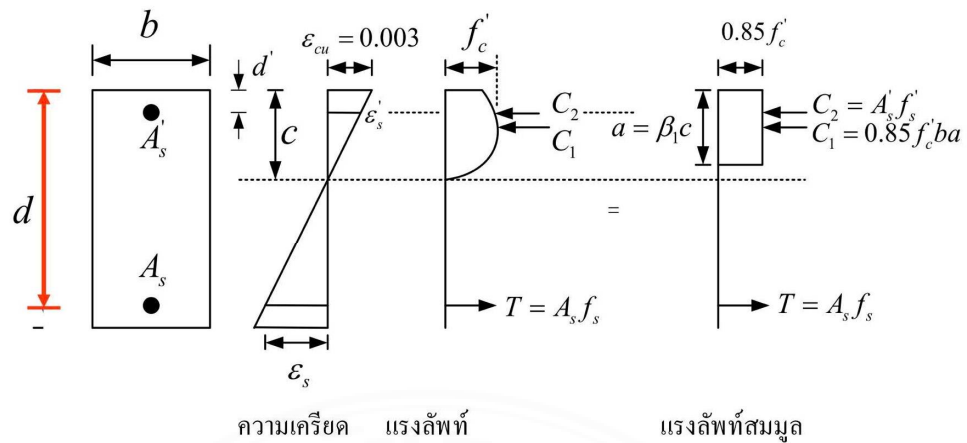
$$\frac{M_u}{\phi f'_c b d^2} = q(1 - 0.59q)$$

$$q = \rho \frac{f_y}{f'_c} = \text{Reinforcing Index}$$

$$\rho = \frac{A_s}{bd} = \text{Steel percentage}$$

ในการออกแบบอาจกำหนด  $\rho = \frac{A_s}{bd}$  โดยต้องอยู่ระหว่างปริมาณเหล็กเสริมต่ำที่สุด และสูงสุดที่อนุญาตโดยมาตรฐานการออกแบบ  $\frac{14}{f_y} \leq \rho \leq 0.75\rho_b$  เมื่อ  $\frac{14}{f_y}$  เป็นเปอร์เซ็นต์เหล็กเสริมต่ำสุดที่อนุญาตให้ใช้แทนค่าโมเมนต์ดัดที่คูณด้วย Load factor แล้ว (Factored moment) ที่ต้องการออกแบบลงในสมการ  $\frac{M_u}{\phi f'_c b d^2} = q(1 - 0.59q)$  สมมติ b เพื่อหา d ซึ่งเป็นความลึกประสิทธิภาพต่ำสุดของหน้าตัดที่ไม่ต้องเสริมเหล็กรับแรงอัด จากนั้นหาปริมาณเหล็กเสริมได้จาก  $A_s = \rho b d$

### 2.5.3 การวิเคราะห์หน้าตัดคานคอนกรีตเสริมเหล็กรับแรงดึงและแรงอัด



ภาพที่ 2.6 การวิเคราะห์หน้าตัดคานคอนกรีตเสริมเหล็กรับแรงดึงและแรงอัด

ถ้า  $\frac{A_{s1}}{bd} \leq \rho_b$  หน้าตัดจะเป็นแบบเสริมเหล็กน้อยกว่าสภาวะสมดุล (Under reinforced section) โมเมนต์ดัดที่สภาวะประลัยจะคำนวณได้จาก

$$M_n = \phi A_{s1} f_y \left(d - \frac{a}{2}\right) + A_{s2} f_y (d - d')$$

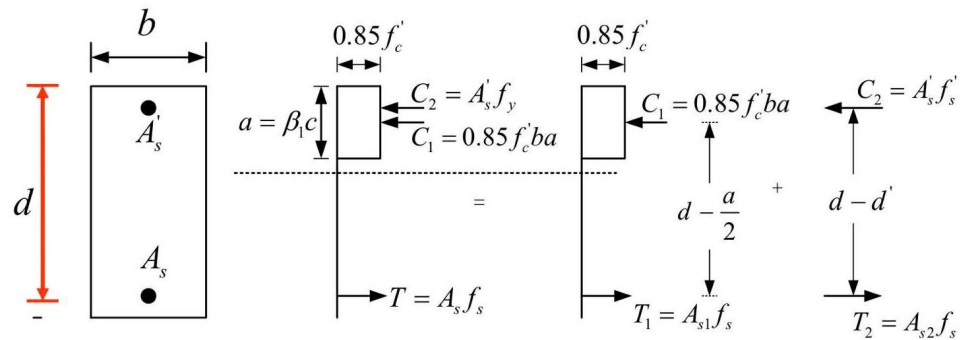
$$M_u = \phi M_n$$

ถ้า  $\frac{A_{s1}}{bd} > \rho_b$  หน้าตัดจะเป็นแบบเสริมเหล็กมากกว่าสภาวะสมดุล (Over reinforced section) จะต้องคำนวณหาหน่วยแรงในเหล็กเสริมรับแรงดึง  $f_s$  ซึ่งน้อยกว่าจุดคราก โมเมนต์ดัดที่สภาวะประลัยจะคำนวณได้จาก

$$M_n = \phi A_{s1} f_s \left(d - \frac{a}{2}\right) + A_{s2} f_s (d - d')$$

$$M_u = \phi M_n$$

#### 2.5.4 การออกแบบหน้าตัดคานคอนกรีตเสริมเหล็กรับแรงดึงและแรงอัด



ภาพที่ 2.7 การออกแบบหน้าตัดคานคอนกรีตเสริมเหล็กรับแรงดึงและแรงอัด

$$A_{s2} = A_s - A_{s1} = A'_s$$

$$A_{s1} = A_s - A_{s2} = A_s - A'_s$$

$$T = T_1 + T_2 \quad T_1 = A_{s1} f_s \quad T_2 = A_{s2} f_s$$

ในกรณีที่ถูกบังคับขนาดหน้าตัดของคานและได้มีการเสริมเหล็กรับแรงดึงเท่ากับ  $0.75\rho_b$  แล้วก็ยังรับโมเมนต์ดัดประลัย  $M_u$  ได้น้อยกว่าที่หน้าตัดจะต้องรับ  $M_u$  จะต้องเสริมเหล็กรับแรงอัดและเหล็กรับแรงดึงเพื่อเพิ่มเพื่อต้านทานโมเมนต์ส่วนที่เกินกว่าหน้าตัดจะรับได้

$$M_2 = M_u - M_1$$

$$M_1 = \phi f_c' q (1 - 0.59q) b d^2$$

$$q = \rho \frac{f_y}{f_c} \quad \rho = 0.75\rho_b \quad A_{s1} = \rho b d$$

$$M_2 = M_u = M_1$$

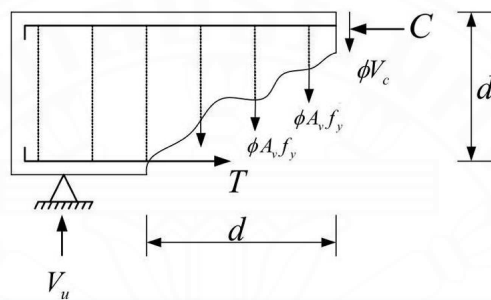
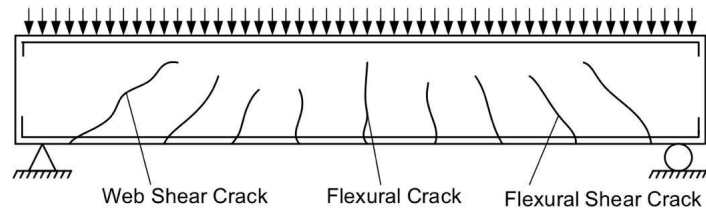
$$A'_s = A_{s2} = \frac{M_2}{f_y (d - d')}$$

$$A_s = A_{s1} + A_{s2}$$

ในกรณีที่ต้องการให้หน้าตัดเหนียว(Ductility)มากขึ้นอาจใช้ปริมาณเหล็กเสริม ส่วนที่ 1  $\rho = \frac{A_{s1}}{b d}$  น้อยกว่า  $0.75\rho_b$  แต่ต้องไม่น้อยกว่าปริมาณเหล็กเสริมต่ำสุด  $\rho_{\min} = \frac{14}{f_y}$  แล้วคำนวณหาโมเมนต์  $M_1$   $M_2$   $A_{s1}$  และ  $A_{s2}$  ได้โดยขั้นตอนเดียวกัน

## 2.6 การออกแบบเหล็กเสริมต้านทานแรงเฉือนและแรงยึดหน่วง

### 2.6.1 กำลังรับแรงเฉือนที่สภาวะประลัย



ภาพที่ 2.8 กำลังรับแรงเฉือนที่สภาวะประลัย

หน่วยแรงเฉือนที่หน้าตัดวิกฤติ

$$v_u = \frac{V_u}{bd}$$

$V_u$  = แรงเฉือนที่สภาวะประลัย

กำลังต้านทานแรงเฉือนของคอนกรีต

$$V_c = v_c bd = \phi 0.53 \sqrt{f'_c} bd$$

$v_c$  = กำลังต้านทานหน่วยแรงเฉือน

ในกรณีที่แรงเฉือนประลัยที่เกิดขึ้นบนหน้าตัดน้อยกว่าที่ต้านทานได้โดยคอนกรีตก็ไม่จำเป็นต้องเสริมเหล็กปลอก แต่มาตรฐานต้องให้เสริมด้วยปริมาณเหล็กเสริมต่ำที่สุดโดยระยะเรียงไม่เกินกว่า  $d/2$

แต่ในกรณีที่  $V_u$  มากกว่า  $V_c$  จะต้องเสริมเหล็กปลอก ซึ่งคำนวณได้ด้วยหลักการแบบจำลองโครงข้อหมุน (Truss Model) แรงเฉือนทั้งหมดจะต้านทานด้วยคอนกรีตส่วนรับแรงอัด เหล็กปลอก Aggregate interlocking และเหล็กเสริมตามยาว (Dowel action) อาจสมมติให้แรงเฉือนประลัยที่เกิดขึ้นต้านทานด้วยคอนกรีตและเหล็กปลอกเท่านั้น เพื่อความง่าย สะดวกต่อการออกแบบและเป็นการสมมติเชิงปลอดภัย(Conservation) โดยมีสมการดังนี้

$$V_u = V_s + V_c$$

$$V_s = \phi \frac{d}{s} A_v f_y$$

$V_s$  = กำลังต้านแรงเฉือนโดยเหล็กปลอก

การเลือกขนาดเหล็กปลอกทำให้สามารถคำนวณระยะเรียงได้จากสมการ

$$s = \frac{\phi A_v f_y d}{V_u - V_c}$$

โดยระยะเรียงไม่เกินกว่า  $\frac{d}{2}$  และมี  $A_v$  ไม่น้อยกว่าปริมาณเหล็กเสริมต่ำสุด

### 2.6.2 แรงยึดหน่วงประลัย (Ultimate bond stress)

$$u = \frac{V_u}{\phi(\Sigma 0)jd}$$

$$jd = 0.875d - 0.9d$$

$u$  = แรงยึดหน่วงประลัย

$\Sigma 0$  = เส้นรอบรูปของเหล็กที่ใช้ในการรับแรงยึดหน่วง

กำลังรับหน่วยแรงยึดหน่วง ( $u_{allow}$ )

เหล็กข้ออ้อย

เหล็กบน

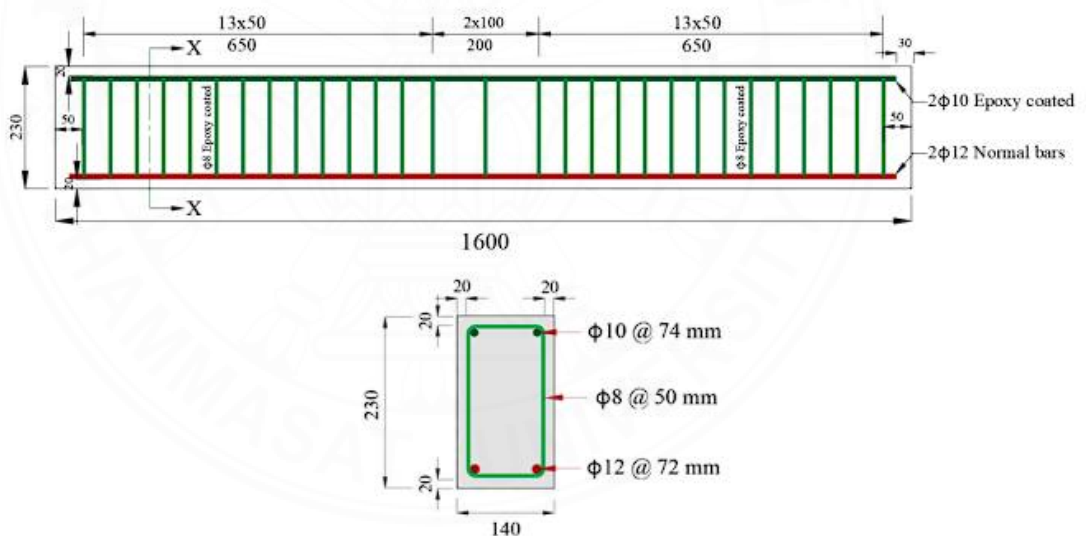
$$\frac{0.451\sqrt{f'_c}}{D}$$

หรือไม่เกินกว่า 39.4 ksc

เหล็กอื่นที่ไม่ใช่เหล็กบน  $\frac{6.39\sqrt{f'_c}}{D}$  หรือไม่เกินกว่า 50.2 ksc  
เหล็กกลม ใช้ครึ่งเดียวของกำลังรับแรงยึดหยุ่นของเหล็กข้ออ้อย

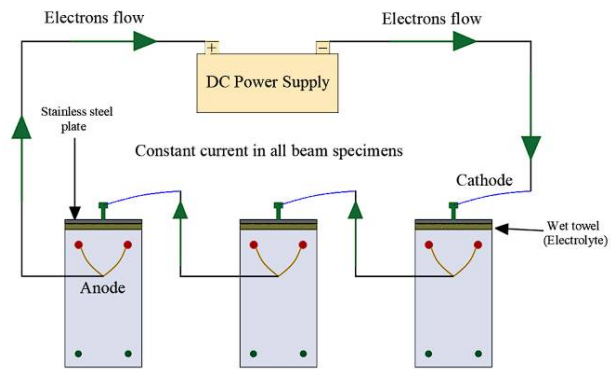
## 2.7 การทดลองผลของคานคอนกรีตเสริมเหล็กที่เกิดสนิมต่อการรับแรงดัด

Shamsad Ahmad และคณะ (2022) ได้ทำการศึกษา เกี่ยวกับคานคอนกรีตเสริมเหล็กที่เกิดสนิมโดยในการทดสอบใช้คานทั้งหมด 4 คาน ขนาดความกว้าง 140 มิลลิเมตร ความลึก 230 มิลลิเมตร ความยาว 1600 มิลลิเมตร โดยมีระยะหุ้มคอนกรีต 20 มิลลิเมตร เหล็กเสริมด้านล่างเป็นเหล็กข้ออ้อยขนาด 12 มิลลิเมตร จำนวน 2 เส้น เหล็กเสริมด้านบนเป็นเหล็กข้ออ้อยขนาด 10 มิลลิเมตร จำนวน 2 เส้น และเหล็กปลอกขนาด 8 มิลลิเมตร ระยะเรียง 50 มิลลิเมตร ที่เหล็กปลอกและเหล็กด้านบนถูกเคลือบด้วย อีพ็อกซีเพื่อต้านทานกระแสไฟฟ้าเหนี่ยวนำ ในการทดสอบหนึ่งคาน จะไม่มีการให้กระแสไฟฟ้าเหนี่ยวนำซึ่งเป็นคานควบคุม(U)และอีกสามคานซึ่งเป็นคาน A B และ C จะมีการให้กระแสไฟฟ้าเหนี่ยวนำจนเกิดสนิมที่ระดับเป้าหมาย 10% 20%และ30%ตามลำดับ

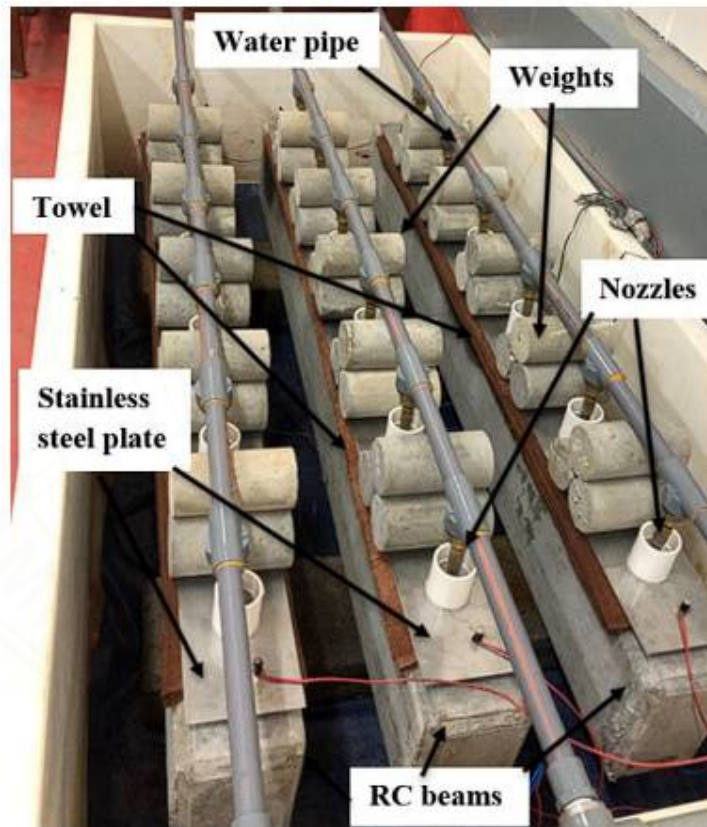


ภาพที่ 2.9 รายละเอียดของคาน (Shamsad Ahmad,2022)

คานคอนกรีตมีการวางกลับหัวให้ด้านเหล็กเสริมที่ไม่ได้ปกคลุมด้วยอีพ็อกซีอยู่ด้านบน โดยเหล็กเสริมที่ไม่ได้ปกคลุมด้วยอีพ็อกซีจะทำหน้าที่เป็นแอโนด และ แผ่นสแตนเลสจะทำหน้าที่เป็นแคโทด มีการปล่อยสารละลายโซเดียมคลอไรด์ผ่าน Water Pipe ทุกๆ 3 ชั่วโมง และปล่อยกระแสไฟฟ้าความหนาแน่นสม่ำเสมอ 200  $\mu\text{A}/\text{cm}^2$



ภาพที่ 2.10 การเชื่อมต่อวงจรกับคานคอนกรีต (Shamsad Ahmad, 2022)



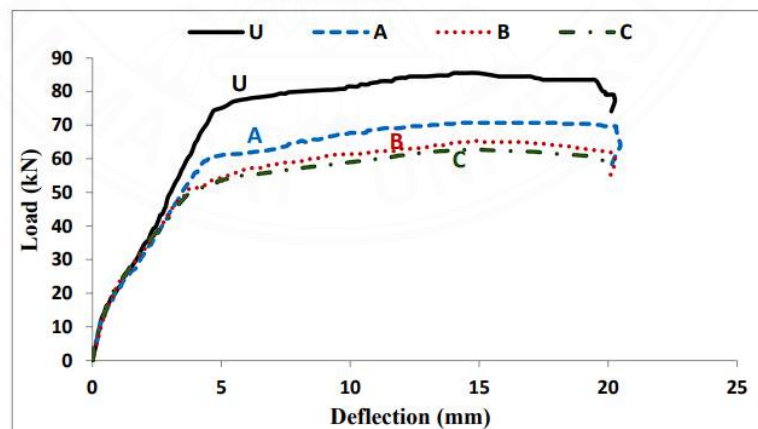
ภาพที่ 2.11 การเชื่อมต่อวงจรกับคานคอนกรีต (Shamsad Ahmad, 2022)

จากผลการทดสอบคาน A รอยแตกกว้างสูงสุดและเฉลี่ยอยู่ที่ 1.2 มิลลิเมตร. และกว้าง 0.8 มิลลิเมตร คาน B รอยแตกกว้างสูงสุดและเฉลี่ยอยู่ที่ 2.1 มิลลิเมตร. และ 1.2 มิลลิเมตร. คาน C รอยแตกกว้างสูงสุดและเฉลี่ยอยู่ที่ 2.9 มิลลิเมตร. และ 1.5 มิลลิเมตร. โดยความกว้างของรอยแตกที่วัดได้ของคานที่เกิดสนิม เป็นไปตามเกณฑ์ ACI 318-14 [66] ซึ่งจำกัดความกว้างสูงสุดของรอยแตกไว้ที่ 0.40 มิลลิเมตร

คานทั้งหมด 4 คานพังด้วยแรงดัดและเริ่มเกิดรอยร้าวจากแรงดัดที่แรงกระทำ 19.5, 17.4, 16.4, และ 16.1 กิโลนิวตัน ตามลำดับ (U, A, B, และ C)



ภาพที่ 2.12 ลักษณะรอยร้าวของคาน U, A, B, และ C (Shamsad Ahmad, 2022)



ภาพที่ 2.13 ความสัมพันธ์ระหว่างแรงกระทำและระยะการแอ่นตัว (Shamsad Ahmad, 2022)

Beam ID	Actual Mass Loss	Average Crack Width	At Cracking		At Steel Yielding		At Ultimate Load	
	%	$C_{avg}$ (mm)	$P_{cr}$ (kN)	$\delta_{cr}$ (mm)	$P_y$ (kN)	$\delta_y$ (mm)	$P_{ult}$ (kN)	$\delta_{ult}$ (mm)
U	0	0	19.5	0.83	75.1	5.5	85.5	14
A	9.8	0.8	17.4	0.72	59.3	4.7	70.7	14.3
B	17.4	1.2	16.4	0.61	48.2	4.1	65.4	14.9
C	20.8	1.5	16.1	0.56	46.5	3.8	62.8	15

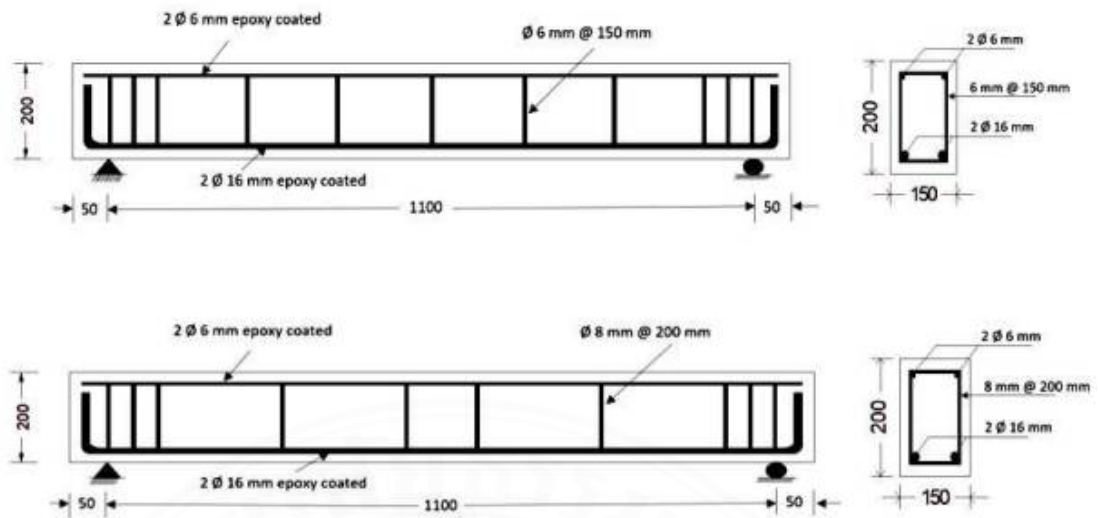
ภาพที่ 2.14 ตารางผลการทดสอบ (Shamsad Ahmad, 2022)

## 2.8 การทดลองผลของเหล็กปลอกที่เป็นสนิมต่อพฤติกรรมการรับแรงเฉือนของคานคอนกรีตเสริมเหล็ก

R H Shehab และคณะ(2020) ได้ทำการศึกษาเกี่ยวกับผลของเหล็กปลอกที่เป็นสนิมต่อพฤติกรรมการรับแรงเฉือนของคานคอนกรีตเสริมเหล็ก โดยคานได้รับการทดสอบถึงความล้มเหลวในการรับแรงเฉือนภายใต้แรงกดสี่จุด ขนาดคานยาว 1200 มม. ลึก 200 มม. หน้าตัดสี่เหลี่ยมผืนผ้า กว้าง 150 มม. เหล็กเส้นเสริมแรงตั้งขนาดเส้นผ่านศูนย์กลาง 16 มม. จำนวน 2 เส้น และเหล็กบนเป็นเหล็กข้ออ้อยขนาดเส้นผ่านศูนย์กลาง 6 มม. จำนวน 2 เส้น เหล็กเสริมทั้งด้านบนและล่างเคลือบด้วยอีพ็อกซีเพื่อป้องกันเหล็กเส้นจากการผุกร่อน เส้นผ่านศูนย์กลางของเหล็กปลอกถูกนำมาเป็นตัวแปร โดยใช้ขนาดเส้นผ่านศูนย์กลางเหล็กปลอกข้ออ้อย 6 มม. และ 8 มม. กำหนดอัตราการเป็นสนิมสำหรับเหล็กปลอกเป็นร้อยละ 0 5 และ 10 ตามลำดับโดยเทียบจากน้ำหนักที่หายไปของเหล็กปลอกหลังเกิดสนิม

Group	Specimen	Diameter	corrosion level
A	D6M0	6mm	0
	D6M5		5%
	D6M10		10%
	D6M16		15%
B	D8M0	8mm	0
	D8M5		5%
	D8M10		10%
	D8M15		15%

ภาพที่ 2.15 รายละเอียดของคานทดสอบ (R H Shehab และคณะ,2020)



ภาพที่ 2.16 รายละเอียดของคานทดสอบ (R H Shehab และคณะ, 2020)

จากผลการทดสอบ คานที่กำหนดระดับการเกิดสนิมร้อยละ 5 มีการรับแรงเฉือนได้ใกล้เคียงกับคานทดสอบ ส่วนคานที่กำหนดระดับการเกิดสนิมร้อยละ 10 และ 15 ในกลุ่ม A (เหล็กปลอกมีขนาดเส้นผ่านศูนย์กลาง 6 มิลลิเมตร) มีอัตราการลดลงของการรับแรงเฉือนอยู่ที่ร้อยละ 7 ถึง 14 คานที่กำหนดระดับการเกิดสนิมร้อยละ 10 และ 15 ในกลุ่ม B (เหล็กปลอกมีขนาดเส้นผ่านศูนย์กลาง 8 มิลลิเมตร) มีอัตราการลดลงของการรับแรงเฉือนอยู่ที่ร้อยละ 2 ถึง 6

Specimens	Compressive strength (Mpa)	Load at first flexure crack (KN)	Load at first shear crack (KN)	Ultimate Measured load (kN)	Mid-span deflection at first shear crack (mm)	Mid-span deflection at failure (mm)	$\delta_u/\delta_v$	Failure Modes
	$f'_c$	$F_{cr}$	$V_{cr}$	$V$	$\delta_v$	$\delta_u$		
D6M0	38.8	40	60	121.19	2.17	6.28	2.894	SC <sup>a</sup>
D6M5	40	55	65	112.21	2.67	5.83	2.184	SC <sup>a</sup>
D6M10	37.74	50	65	109.23	2.74	5.97	2.179	DS <sup>b</sup>
D6M15	36.84	45	75	104.41	3.27	5.5	1.682	SR <sup>c</sup>
D8M0	38.75	50	80	137.28	2.64	6.49	2.458	SC <sup>a</sup>
D8M5	42	55	95	142.43	3.75	7.21	1.923	SC <sup>a</sup>
D8M10	38.86	50	100	135.1	4.15	7.01	1.689	DS <sup>c</sup> + CC <sup>d</sup>
D8M15	36.64	45	110	129.14	5.1	6.92	1.357	DS <sup>c</sup>

<sup>a</sup> Shear compression,

<sup>b</sup> Diagonal splitting,

<sup>c</sup> Stirrups Rupture,

<sup>d</sup> Crashing concrete

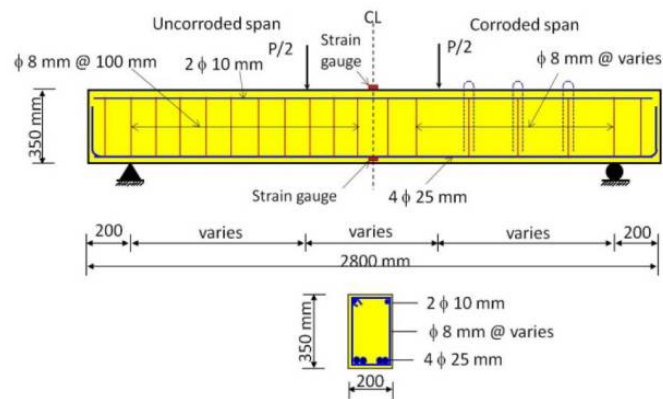
ภาพที่ 2.17 ผลการทดสอบคาน (R H Shehab และคณะ, 2020)

## 2.9 ผลของการกัดกร่อนในเหล็กปลอกต่อกำลังรับแรงเฉือนของคานคอนกรีตเสริมเหล็กแบบสั้น

Ahmed K. EL-SAYED และ คณะ ได้ทำการทดสอบ ประกอบด้วยการทดสอบแรงเฉือนในคานคอนกรีตเสริมเหล็กทั้งหมด 14 คาน โดยมีคาน 9 คาน ที่ถูกเร่งให้เกิดการกัดกร่อน และคานอีก 5 คาน ที่ไม่ถูกกัดกร่อนเพื่อใช้เป็นคานควบคุม คานทุกตัวได้รับการเสริมเหล็กตามแนวยาวเพื่อให้สามารถเกิดการวิบัติในลักษณะแรงเฉือนได้ก่อนที่จะถึงกำลังดัด (flexural capacities) ของคาน โดยคานทดสอบมีความกว้าง 200 มม. ลึก 350 มม. และยาว 2800 มม. แต่ละคานมีการเสริมเหล็กตามแนวยาวด้วยเหล็กเส้นข้ออ้อยขนาดเส้นผ่านศูนย์กลาง 25 มม. จำนวน 4 เส้น และเหล็กดัดบนขนาด 10 มม. จำนวน 2 เส้น โดยเหล็กปลอกที่ใช้เสริมแรงเฉือนเป็นเหล็กเส้นข้ออ้อยขนาดเส้นผ่านศูนย์กลาง 8 มม. และมีระยะหุ้มคอนกรีตด้านข้าง 20 มม.

Beam	Shear span to depth ratio, a/d	Stirrup spacing (mm)	Target mass loss (%)
0-200-2	2	200	0
10-200-2			10
30-200-2			30
0-150-2		150	0
10-150-2			10
30-150-2			30
0-100-2		100	0
30-100-2			30
0-150-1			1
10-150-1	10		
30-150-1	30		
0-100-1	100	0	
10-100-1		10	
30-100-1		30	

ภาพที่ 2.18 ตัวอย่างคานทดสอบ(Ahmed K. EL-SAYED และ คณะ)



ภาพที่ 2.19 รายละเอียดและหน้าตัดตัวอย่างคานทดสอบ (Ahmed K. EL-SAYED และคณะ)

หลังการบ่มคอนกรีต ชิ้นงานทดสอบถูกเร่งให้เกิดการกัดกร่อนโดยใช้กระแสไฟฟ้าตรง (DC) ต่อเข้าสู่คาน โดยเหล็กปลอกจะทำหน้าที่เป็นขั้วบวกและเหล็กส텐เลสขนาด 10 มม. ซึ่งฝังอยู่ในคอนกรีตเป็นขั้วลบ กระแสไฟฟ้าถูกควบคุมให้มีความหนาแน่นกระแสที่  $0.4 \text{ mA/cm}^2$  เพื่อให้เกิดการกัดกร่อนในระดับที่ต้องการ



ภาพที่ 2.20 กระบวนการเร่งการกัดกร่อน (Ahmed K. EL-SAYED และ คณะ)

หลังจากกระบวนการกัดกร่อนเร่งเสร็จสิ้น คานทดสอบจะถูกทดสอบจนกระทั่งเกิดการวิบัติ โดยใช้การวางน้ำหนักแบบสี่จุด (four-point bending) พร้อมวัดการแอ่นตัวตรงกลางของคานและบันทึกการเกิดรอยร้าว

Beam	Concrete strength, MPa	Measured load (kN)		Ultimate strength reduction (%)	Mid-span deflection at failure (mm)	Mid-span strain ( $\mu\epsilon$ )		Max. stirrup strain ( $\mu\epsilon$ )	Average mass loss (%)	Failure mode*
		Diagonal cracking	Ultimate			Long. bars	concrete			
0-200-2	38	189	572	–	8.9	1777	–1590	3036	–	SC
10-200-2		230	529	8	9.5	1685	–1175	–	16.5	SR
30-200-2		280	535	6	10.8	1757	–1413	–	22.2	SR
0-150-2		191	610	–	10.7	1882	–1475	3411	–	SC
10-150-2		260	547	10	8.5	1710	–1245	–	12.3	SR
30-150-2		285	526	14	11.5	1645	–1228	–	21.5	SR
0-100-2		202	640	–	10.1	1956	–1477	3829	–	SC
30-100-2		277	512	20	9.2	1602	–1297	–	23.6	SC
0-150-1		233	1040	–	9.0	1446	–1356	2960	–	SC
10-150-1		310	916	12	8.2	1318	–1208	–	15.8	SR
30-150-1	29.4	356	845	19	8.2	1006	–1125	–	20.3	SR
0-100-1		287	1105	–	10.4	–	–1372	2875	–	DC
10-100-1		394	892	19	7.8	1162	–1227	–	17.8	DC
30-100-1		421	841	24	8.4	1050	–1089	–	24.0	DC

ภาพที่ 2.21 ผลการทดสอบคานตัวอย่าง (Ahmed K. EL-SAYED และคณะ)

## บทที่ 3 วิธีการวิจัย

### 3.1 ตัวแปรที่ใช้ในการศึกษา

- ระยะเวลาในการเร่งปฏิกิริยาสนิม
- สารละลายที่ใช้ในกระบวนการเร่งปฏิกิริยาสนิม

### 3.2 วัสดุที่ใช้ในงานวิจัย

#### 3.2.1 คอนกรีต

คอนกรีตที่ใช้ในการหล่อคานตัวอย่างทั้ง 8 คาน เป็นคอนกรีตผสมเสร็จ(Ready Mixed Concrete) ที่มีค่ากำลังอัด 240 กิโลกรัมต่อตารางเซนติเมตร โดยมีการทดสอบส่วนผสมด้วยมาตรฐาน ASTM C494,ASTM C33,ASTM C150 และมีการทดสอบค่าการยุบตัวของคอนกรีต (Slump Test)

#### 3.2.2 เหล็กเสริมคอนกรีตและเหล็กปลอก

เหล็กเส้นเสริมคอนกรีตเป็นเหล็กข้ออ้อยขนาดเส้นผ่านศูนย์กลาง 12 มิลลิเมตร มาตรฐานกำลังรับแรงดึงที่จุดครากไม่น้อยกว่า 4,000 กิโลกรัมต่อตารางเซนติเมตร และเหล็กปลอกเป็นเหล็กเส้นกลมขนาดเส้นผ่านศูนย์กลาง 6 มิลลิเมตร มาตรฐานกำลังรับแรงดึงที่จุดครากไม่น้อยกว่า 2,400 กิโลกรัมต่อตารางเซนติเมตร

ตารางที่ 3.1 คุณสมบัติของเหล็กเสริมและเหล็กปลอก

คุณสมบัติทางกล	เหล็ก DB12 SD40	เหล็ก RB6 SR24
Yield Strength (ksc)	4,000	2,400
Tensile Strength(ksc)	5,700	3,900
Elongation	15	21

### 3.3 อุปกรณ์ที่ใช้ในการทดสอบ

#### 3.3.1 มัลติมิเตอร์ ที่อ่านค่าความละเอียดได้ระดับ 0.01 mV



ภาพที่ 3.1 มัลติมิเตอร์

#### 3.3.2 เครื่องมือทดสอบ Half-Cell Potential



ภาพที่ 3.2 Half-Cell Potential

### 3.3.3 Power Supply

แปลงจากไฟกระแสสลับ 220 โวลต์ เป็นไฟกระแสตรง 4.5 โวลต์ ถึง 12 โวลต์  
กระแสไฟฟ้า 5 แอมแปร์



ภาพที่ 3.3 Power Supply

### 3.3.4 สายไฟและตัวต้านทาน

สายไฟฟ้าตัวนำทองแดง ขนาดหน้าตัด  $1 \times 1.5$  ตารางมิลลิเมตร ทนความร้อน  
สูงสุด 70 องศาเซลเซียส และรองรับแรงดันไฟฟ้าสูงสุด 450/750 โวลต์



ภาพที่ 3.4 สายไฟฟ้าตัวนำทองแดง

ตัวต้านทาน 2.2 กิโลโอห์ม 1 วัตต์ ชนิด 5%



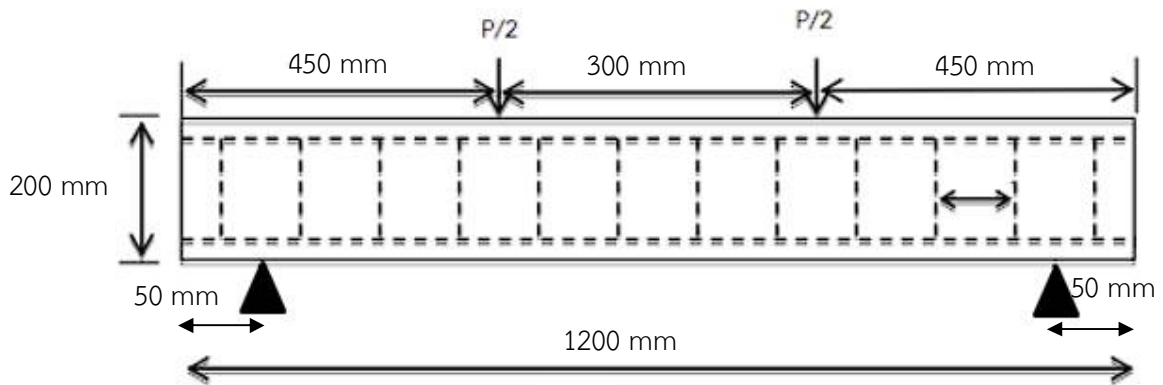
ภาพที่ 3.5 ตัวต้านทาน

### 3.4 การออกแบบตัวอย่าง

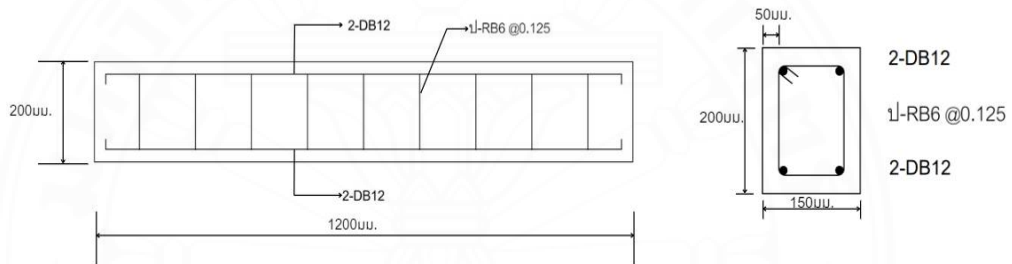
ตัวอย่างคานที่ใช้ในการทดสอบสำหรับงานวิจัยในครั้งนี้ มีตัวอย่างทั้งหมด 8 ตัวอย่าง แสดงในตารางที่ 1 โดยศึกษาพฤติกรรมการรับแรงเฉือน และลักษณะการวิบัติของคานคอนกรีตเสริมเหล็กที่เหล็กปลอกเกิดสนิมด้วยการเร่งปฏิกิริยาสนิมในสภาวะที่ต่างกัน 4 สภาวะ ได้แก่ น้ำ สารละลายโซเดียมคลอไรด์ สายละลายแคลเซียมไฮดรอกไซด์ และสารละลายแมกนีเซียมซัลเฟต ในระยะเวลา 30 และ 60 วัน ตัวอย่างคานคอนกรีตเสริมเหล็ก มีหน้าตัดเป็นรูปสี่เหลี่ยมผืนผ้า ขนาดความกว้าง 150 มิลลิเมตร ความลึก 200 มิลลิเมตร และความยาว 1200 มิลลิเมตร โดยมีความยาวระหว่างจุดรองรับทั้งสองด้านคือ 1100 มิลลิเมตร ระยะหุ้มของตัวอย่างคาน 25 มิลลิเมตร มีการเสริมเหล็กรับแรงดึงบริเวณท้องคานด้วยเหล็กเส้นข้ออ้อย ขนาดเส้นผ่านศูนย์กลาง 12 มิลลิเมตร จำนวน 2 เส้น เสริมเหล็กรับแรงอัดบริเวณส่วนบนของคานด้วยเหล็กเส้นข้ออ้อย ขนาดเส้นผ่านศูนย์กลาง 12 มิลลิเมตร จำนวน 2 เส้นและเสริมเหล็กปลอกรับแรงเฉือน ด้วยเหล็กเส้นกลม ขนาดเส้นผ่านศูนย์กลาง 6 มิลลิเมตร โดยมีระยะเรียงอยู่ที่ 125 มิลลิเมตรโดยมีการคำนวณรายละเอียดของคานคอนกรีตเสริมเหล็กดังนี้

ตารางที่ 3.2 ตัวอย่างคานคอนกรีต

คาน ตัวอย่าง	เหล็ก เสริม	Grade	เหล็กปลอก	b(cm)	d(cm)	สภาวะการเกิด สนิม	Time (วัน)
BC	2DB12	SD40	RB6@0.125	15	20	-	0
B30W	2DB12	SD40	RB6@0.125	15	20	น้ำ	30
B60W	2DB12	SD40	RB6@0.125	15	20	น้ำ	60
B30N	2DB12	SD40	RB6@0.125	15	20	โซเดียมคลอไรด์	30
B60N	2DB12	SD40	RB6@0.125	15	20	โซเดียมคลอไรด์	60
B30C	2DB12	SD40	RB6@0.125	15	20	แคลเซียมไฮดรอก ไซด์	30
B30M	2DB12	SD40	RB6@0.125	15	20	แมกนีเซียมซัลเฟต	30
B60M	2DB12	SD40	RB6@0.125	15	20	แมกนีเซียมซัลเฟต	60



ภาพที่ 3.6 ลักษณะของคานคอนกรีตตัวอย่าง



ภาพที่ 3.7 ภาพตัวอย่างคานและหน้าตัดคาน

### 3.5 การเร่งปฏิกิริยานิม

การเร่งกระบวนการกัดกร่อนใช้วิธีกลบวาโนสแตติก โดยเป็นการเร่งกระบวนการกัดกร่อนในสภาพแวดล้อมที่มีการควบคุมโดยเทียม วิธีการเร่งการกัดกร่อนแบบกลบวาโนสแตติกถูกใช้อย่างแพร่หลายในปัจจุบัน โดยในการทดสอบได้ทำการเตรียมบ่อสำหรับนำคานคอนกรีตเสริมเหล็กตัวอย่าง ลงไปแช่ในสารละลาย โดยใช้สารละลายเป็นน้ำ สารละลายโซเดียมคลอไรด์ สารละลายแคลเซียมไฮดรอกไซด์ สารละลายแมกนีเซียมซัลเฟตความเข้มข้น 4% เทียบกับน้ำหนักของน้ำ และใช้ชุดอุปกรณ์ไฟฟ้าที่ใช้ทำการเร่งปฏิกิริยาประกอบไปด้วย เครื่องควบคุมกระแสไฟฟ้า และเครื่องกระจายกระแสไฟฟ้า (DC Powersupply) ในการปล่อยกระแสไฟฟ้า 5 แอมป์ ความต่างศักย์ 12 โวลต์ ต่อสายไฟโดยให้เหล็กปลอกเป็นแอโนด(ขั้วบวก)และให้เหล็กที่จุ่มสารละลายเพื่อต่อให้ครบวงจรไฟฟ้าเคมีเป็นแคโทด (ขั้วลบ) ใช้อุปกรณ์วัดความต่างศักย์ไฟฟ้าเพื่อนำค่าความต่างศักย์ที่ได้ไป

จัดบันทึกในแต่ละวันโดยทำการวัดวันละสองรอบ ในการเร่งปฏิกิริยาสนิมจะกระทำต่อเนื่องเป็นระยะเวลา 30 และ 60 วัน

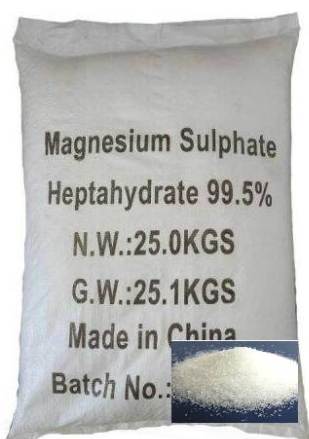
### 3.5.1 สารละลายที่นำมาเป็นตัวกลางทางไฟฟ้าในการทดสอบ

(1) โซเดียมคลอไรด์ (อังกฤษ: Sodium chloride, สูตรเคมี: NaCl) มีชื่อที่เรียกทั่วไป คือเกลือแกง หรือฮาไลต์ เป็นสารประกอบเคมี โซเดียมคลอไรด์เป็นเกลือที่มีบทบาทต่อความเค็มของมหาสมุทร และของเหลวภายนอกเซลล์ของสิ่งมีชีวิตหลายเซลล์ เป็นส่วนประกอบหลักในเกลือที่กินได้ มันถูกใช้อย่างกว้างขวางในการเป็นเครื่องปรุงรส และใช้ในการถนอมอาหาร โดยในการทดสอบใช้ความเข้มข้นของสารละลายคือ 4%เทียบกับน้ำหนักของน้ำ



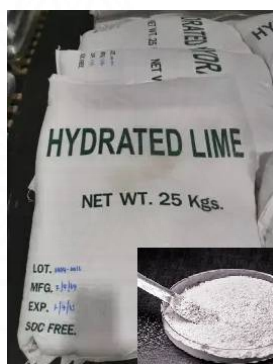
ภาพที่ 3.8 โซเดียมคลอไรด์ (เกลือแกง)

(2) แมกนีเซียมซัลเฟต (อังกฤษ: magnesium sulfate) เป็นสารประกอบเคมีของแมกนีเซียม มีสูตรเคมีคือ  $MgSO_4$  มักอยู่ในรูปของเฮปตาไฮเดรต เริ่มแรกโดยการเคี่ยวน้ำแร่ (mineral water) จนงวดและแห้งที่เมืองยิปซัม (Epsom) ประเทศอังกฤษ และต่อมาภายหลังเตรียมได้จากน้ำทะเลและพบในแร่หลายชนิด โดยในการทดสอบใช้ความเข้มข้นของสารละลายคือ 4%เทียบกับน้ำหนักของน้ำ



ภาพที่ 3.9 แมกนีเซียมซัลเฟต

(3) แคลเซียมไฮดรอกไซด์ (อังกฤษ: calcium hydroxide) เป็นสารประกอบอนินทรีย์ที่มีสูตรเคมี คือ  $\text{Ca(OH)}_2$  ลักษณะเป็นผลึกไม่มีสีหรือผงสีขาว ได้จากการเจือจางแคลเซียมออกไซด์กับน้ำ สารละลายอิ่มตัวของแคลเซียมไฮดรอกไซด์ รู้จักในชื่อน้ำปูนใส โดยในการทดสอบใช้ความเข้มข้นของสารละลาย คือ 4% เทียบกับน้ำหนักของน้ำ



ภาพที่ 3.10 แคลเซียมไฮดรอกไซด์

(4) น้ำ องค์ประกอบทางเคมีของน้ำประกอบด้วยธาตุไฮโดรเจน (H) 2 อะตอม และออกซิเจน (O) 1 อะตอม รวมกันเป็นน้ำ ( $\text{H}_2\text{O}$ ) 1 โมเลกุล น้ำบริสุทธิ์ ใส ไม่มีสี ไม่มีกลิ่น และไม่เหนียวนำไฟฟ้า การนำไฟฟ้าของน้ำแสดงถึง การเจือปนของสารละลายในน้ำ การเหนียวนำไฟฟ้าของน้ำมีหน่วยวัดเป็น ไมโครซีเมนส์ต่อเซนติเมตร ( $\text{mS/cm}$ ) น้ำสะอาดมีค่าการนำไฟฟ้าประมาณ

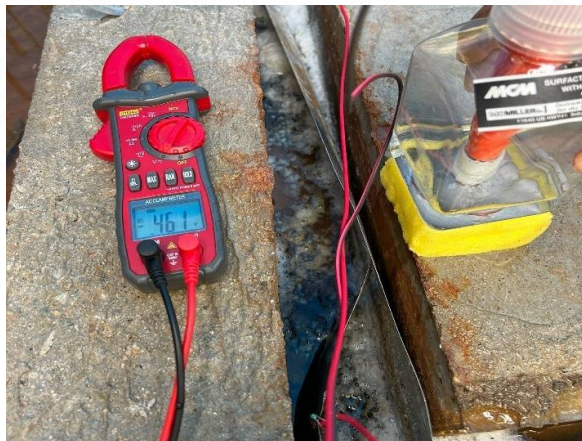
5 – 30 mS/cm แต่น้ำที่ไม่บริสุทธิ์ เช่น น้ำที่ปล่อยออกจากโรงงานอุตสาหกรรมจะมีค่าการนำไฟฟ้าสูงกว่านี้



ภาพที่ 3.11 กระบวนการเร่งปฏิกิริยาการเกิดสนิม

### 3.6 ทดสอบการเกิดสนิมของเหล็กปลอกด้วยวิธี Half-Cell Potential ตามมาตรฐาน ASTM C876-99

วัดความต่างศักย์ไฟฟ้าระหว่างเหล็กปลอกและผิวของคอนกรีตทุก 1 วัน เพื่อที่จะได้ทำการประเมินการกัดกร่อนและโอกาสในการเกิดสนิมของเหล็กปลอก ดังที่แสดงในตารางที่ 3.3



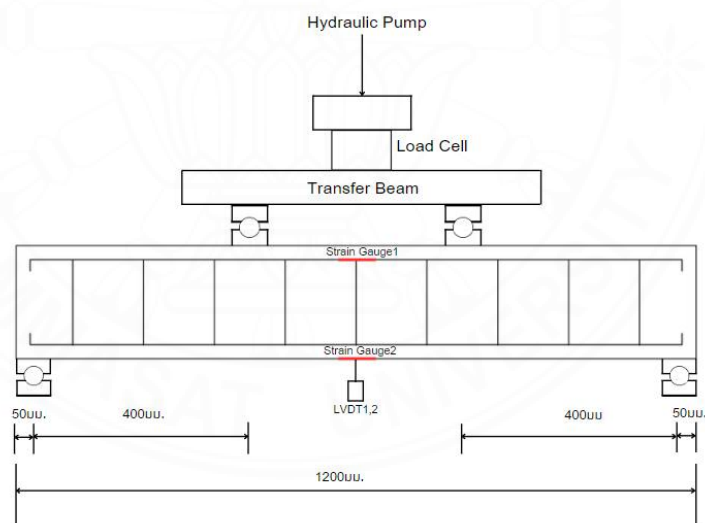
ภาพที่ 3.12 กระบวนการทดสอบ Half-Cell Potential

ตารางที่ 3.3 มาตรฐาน ASTM C876-99

ค่าศักย์ไฟฟ้าครึ่งเซลล์	เงื่อนไขการเกิดสนิม
มากกว่า -0.12V	มีโอกาสร้อยละ 10 ที่เหล็กจะเกิดสนิม
-0.12V ถึง -0.276V	มีความเสี่ยงในการเกิดสนิมระดับปานกลาง
น้อยกว่า -0.276V	มีโอกาสร้อยละ 90 ที่เหล็กจะเกิดสนิม
น้อยกว่า -0.426V	เกิดสนิมในระดับรุนแรง

### 3.7 การติดตั้งเครื่องมือวัด

3.7.1 การติดตั้งเครื่องมือทดสอบแรงเฉือนแบบสี่ตำแหน่ง (Four-point test) ความยาวคานในช่วงทดสอบคือ 1100 มิลลิเมตร โดยติดตั้งเครื่องมือวัดค่าความแอ่นตัวของคานคอนกรีต (Linear Variable Differential Transformer, LVDT) สองตำแหน่งที่บริเวณกึ่งกลางคานตัวอย่าง การทดสอบแรงเฉือนสี่ตำแหน่งมีลักษณะการให้แรงกระทำต่อเนื่อง โดยมีการกำหนดอัตราแรงกระทำเป็นอัตราการแอ่นตัว 0.5 มิลลิเมตร/1นาที ไปจนถึงจุดวิบัติ



ภาพที่ 3.13 ขั้นตอนการจัดเตรียมการทดสอบ



ภาพที่ 3.14 ขั้นตอนการจัดเตรียมการทดสอบ

### 3.8 วิธีการดำเนินงาน

1. ทำการศึกษาเนื้อหาและทฤษฎีที่เกี่ยวข้องกับการทดลอง
2. วางแผนการทำงานและจัดขั้นตอนการทำงาน
3. ตัด และ เตรียมเหล็ก ตามขนาดที่ออกแบบไว้ เพื่อหล่อคานคอนกรีตตัวอย่าง



ภาพที่ 3.15 การเตรียมแบบหล่อคานคอนกรีตตัวอย่าง

4. หล่อคานคอนกรีตเสริมเหล็กตามตัวอย่างที่ออกแบบ โดยใช้คอนกรีตที่มีค่า Strength ที่ต้องการ (240 ksc)



ภาพที่ 3.16 การหล่อคานคอนกรีตตัวอย่าง

5. ทำการเร่งปฏิกิริยาการเกิดสนิมบริเวณเหล็กปลอกของคานตัวอย่างทั้งหมด



ภาพที่ 3.17 การเร่งปฏิกิริยาการเกิดสนิมที่เหล็กปลอกของคานตัวอย่าง

6. นำคานคอนกรีตเสริมเหล็กที่หล่อในแต่ละตัวอย่างไปทำการทดสอบ โดยให้น้ำหนักผ่านทรานสเฟอร์บีมด้วยอัตราการแอนตัว 0.5 มิลลิเมตร/1 นาที ใช้ทรานสดิวเซอร์ดิซเพลสเมนต์และ Strain Gauge ในการวัดและอ่านค่า



ภาพที่ 3.18 การทดสอบด้วยเครื่องมือทดสอบแรงดัดแบบสี่ตำแหน่ง

## บทที่ 4

### ผลการศึกษา

#### 4.1 ผลการทดสอบ

ในบทนี้ จะกล่าวถึงผลการทดสอบที่ได้จากการทดสอบคานคอนกรีตเพื่อศึกษาพฤติกรรมการรับแรงเฉือน ภายใต้น้ำหนักบรรทุกทุกแบบสถิต โดยได้นำเสนอข้อมูลการเปรียบเทียบความสัมพันธ์ระหว่างน้ำหนักบรรทุกกับการแอ่นตัวของคานคอนกรีตที่เหล็กปลอกเกิดสนิม

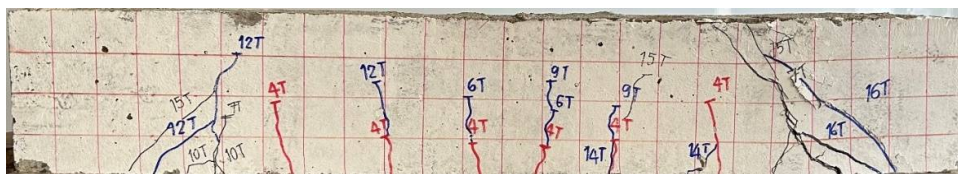
##### 4.1.1 ผลการทดสอบ คานB30W

สำหรับ คาน B30W จะเป็นคานคอนกรีตขนาดหน้าตัด 15 \* 20 เซนติเมตร เสริมเหล็กข้ออ้อยขนาดเส้นผ่านศูนย์กลาง 12 มิลลิเมตร โดยเสริมด้านล่าง 2 เส้น และเสริมด้านบน 2 เส้น และมีการเสริมเหล็กปลอกเป็นเหล็กเส้นกลม ขนาดหน้าตัด 6 มิลลิเมตร ระยะเรียง 12.5 เซนติเมตร ผ่านการเร่งปฏิกิริยาการเกิดสนิมเป็นระยะเวลา 30 วันในสภาวะน้ำ

พฤติกรรมการตัดภายใต้น้ำหนักบรรทุก ในเบื้องต้นได้แสดงด้วยความสัมพันธ์ระหว่างน้ำหนักบรรทุกกับการแอ่นตัวที่กึ่งกลางคาน โดยน้ำหนักบรรทุกของคานจากการทดสอบสามารถรับน้ำหนักสูงสุด (P) ได้เท่ากับ 163.9 กิโลนิวตัน โดยรอยร้าวแรกเกิดขึ้นที่น้ำหนักบรรทุก (P) เท่ากับ 39.9 กิโลนิวตัน ดังที่แสดงในภาพที่ 4.1 จากการสังเกตการแตกร้าวของคาน เห็นได้ว่าการแตกร้าว แบบกระจายตัว ซึ่งจะเริ่มมีการแตกร้าวจากบริเวณกึ่งกลางคานแล้วจึงขยายออกมาบริเวณด้านข้าง โดยคานจะเกิดการวิบัติจากแรงเฉือนที่น้ำหนักบรรทุกสูงสุด (P) เท่ากับ 163.9 กิโลนิวตัน เนื่องจากเหล็กปลอกไม่สามารถรับน้ำหนักบรรทุกได้ ดังที่แสดงในภาพที่ 4.2



ภาพที่ 4.1 รอยร้าวแรกของคาน B30W หลังจากให้น้ำหนักบรรทุก



ภาพที่ 4.2 รอยร้าวและลักษณะการวิบัติของคาน B30W

#### 4.1.2 ผลการทดสอบ คานB60W

สำหรับ คานB60W จะเป็นคานคอนกรีตขนาดหน้าตัด 15 \* 20 เซนติเมตร เสริมเหล็กข้ออ้อยขนาดเส้นผ่านศูนย์กลาง 12 มิลลิเมตร โดยเสริมด้านล่าง 2 เส้น และเสริมด้านบน 2 เส้น และมีการเสริมเหล็กปลอกเป็นเหล็กเส้นกลม ขนาดหน้าตัด 6 มิลลิเมตร ระยะเรียง 12.5 เซนติเมตร ผ่านการเร่งปฏิกิริยาการเกิดสนิมเป็นระยะเวลา 60 วันในสภาวะน้ำ

พฤติกรรมการตัดภายใต้น้ำหนักบรรทุก ในเบื้องต้นได้แสดงด้วยความสัมพันธ์ระหว่างน้ำหนักบรรทุกกับการแอนตัวที่กึ่งกลางคาน โดยน้ำหนักบรรทุกของคานจากการทดสอบสามารถรับน้ำหนักสูงสุด (P) ได้เท่ากับ 149.8 กิโลนิวตัน โดยรอยร้าวแรกเกิดขึ้นที่น้ำหนักบรรทุก (P) เท่ากับ 39.9 กิโลนิวตัน ดังที่แสดงในภาพที่ 4.3 จากการสังเกตการแตกร้าวของคาน เห็นได้ว่าการแตกร้าว แบบกระจายตัว ซึ่งจะเริ่มมีการแตกร้าวจากบริเวณกึ่งกลางคานแล้วจึงขยายออกมาบริเวณด้านข้าง โดยคานจะเกิดการวิบัติจากแรงเฉือนที่น้ำหนักบรรทุกสูงสุด (P) เท่ากับ 149.8 กิโลนิวตัน เนื่องจากเหล็กปลอกไม่สามารถรับน้ำหนักบรรทุกได้ ดังที่แสดงภาพที่ 4.4



ภาพที่ 4.3 รอยร้าวแรกของคาน B60W หลังจากให้น้ำหนักบรรทุก



ภาพที่ 4.4 รอยร้าวและลักษณะการวิบัติของคาน B60W

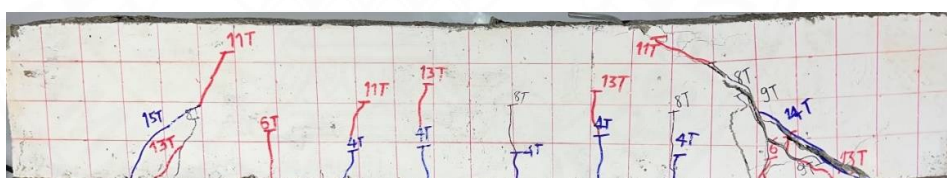
#### 4.1.3 ผลการทดสอบ คานB30N

สำหรับ คานB30N จะเป็นคานคอนกรีตขนาดหน้าตัด 15 \* 20 เซนติเมตร เสริมเหล็กข้ออ้อยขนาดเส้นผ่านศูนย์กลาง 12 มิลลิเมตร โดยเสริมด้านล่าง 2 เส้น และเสริมด้านบน 2 เส้น และมีการเสริมเหล็กปลอกเป็นเหล็กเส้นกลม ขนาดหน้าตัด 6 มิลลิเมตร ระยะเรียง 12.5 เซนติเมตร ผ่านการเร่งปฏิกิริยาการเกิดสนิมเป็นระยะเวลา 30 วันในสภาวะโซเดียมคลอไรด์

พฤติกรรมการตัดภายใต้น้ำหนักบรรทุก ในเบื้องต้นได้แสดงด้วยความสัมพันธ์ระหว่างน้ำหนัก บรรทุกกับการแอนตัวที่กึ่งกลางคาน โดยน้ำหนักบรรทุกของคานจากการทดสอบสามารถรับน้ำหนักสูงสุด (P) ได้เท่ากับ 158.4 กิโลนิวตัน โดยรอยร้าวแรกเกิดขึ้นที่น้ำหนักบรรทุก (P) เท่ากับ 39.9 กิโลนิวตัน ดังที่แสดงในภาพที่ 4.5 จากการสังเกตการแตกร้าวของคาน เห็นได้ว่าการแตกร้าว แบบกระจายตัว ซึ่งจะเริ่มมีการแตกร้าวจากบริเวณกึ่งกลางคานแล้วจึงขยายออกมาบริเวณด้านข้าง โดยคานจะเกิดการวิบัติจากแรงเฉือนที่น้ำหนักบรรทุกสูงสุด (P) เท่ากับ 158.4 กิโลนิวตัน เนื่องจากเหล็กปลอกไม่สามารถรับน้ำหนักบรรทุกได้ ดังที่แสดงภาพที่ 4.6



ภาพที่ 4.5 รอยร้าวแรกของคาน B30N หลังจากให้น้ำหนักบรรทุก

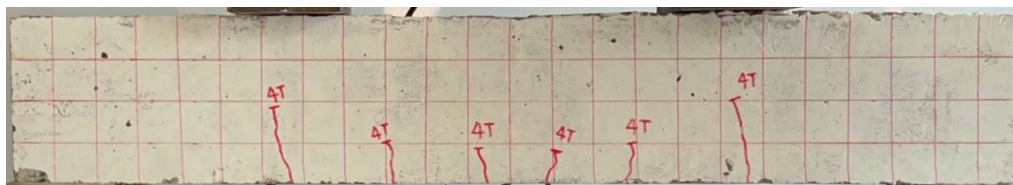


ภาพที่ 4.6 รอยร้าวและลักษณะการวิบัติของคาน B30N

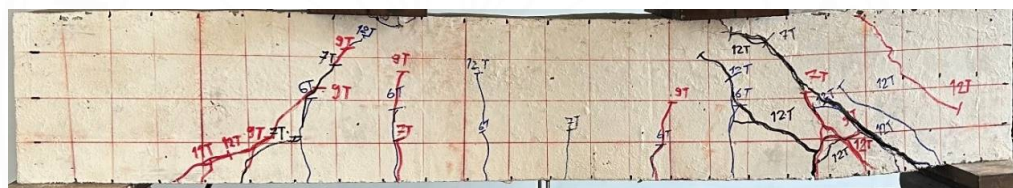
#### 4.1.4 ผลการทดสอบ คานB60N

สำหรับ คานB60N จะเป็นคานคอนกรีตขนาดหน้าตัด 15 \* 20 เซนติเมตร เสริมเหล็กข้ออ้อยขนาดเส้นผ่านศูนย์กลาง 12 มิลลิเมตร โดยเสริมด้านล่าง 2 เส้น และเสริมด้านบน 2 เส้น และมีการเสริมเหล็กปลอกเป็นเหล็กเส้นกลม ขนาดหน้าตัด 6 มิลลิเมตร ระยะเรียง 12.5 เซนติเมตร ผ่านการเร่งปฏิกิริยาการเกิดสนิมเป็นระยะเวลา 60 วันในสภาวะโซเดียมคลอไรด์

พฤติกรรมการตัดภายใต้้น้ำหนักบรรทุก ในเบื้องต้นได้แสดงด้วยความสัมพันธ์ระหว่างน้ำหนักบรรทุกกับการแอ่นตัวที่กึ่งกลางคาน โดยน้ำหนักบรรทุกของคานจากการทดสอบสามารถรับน้ำหนักสูงสุด (P) ได้เท่ากับ 128.9 กิโลนิวตัน โดยรอยร้าวแรกเกิดขึ้นที่น้ำหนักบรรทุก (P) เท่ากับ 59.8 กิโลนิวตัน ดังที่แสดงในภาพที่ 4.7 จากการสังเกตการแตกร้าวของคาน เห็นได้ว่ามีการแตกร้าว แบบกระจายตัว ซึ่งจะเริ่มมีการแตกร้าวจากบริเวณกึ่งกลางคานแล้วจึงขยายออกมาบริเวณด้านข้าง โดยคานจะเกิดการวิบัติจากแรงเฉือนที่น้ำหนักบรรทุกสูงสุด (P) เท่ากับ 129.8 กิโลนิวตัน เนื่องจากเหล็กปลอกไม่สามารถรับน้ำหนักบรรทุกได้ ดังที่แสดงภาพที่ 4.8



ภาพที่ 4.7 รอยร้าวแรกของคาน B60N หลังจากให้น้ำหนักบรรทุก



ภาพที่ 4.8 รอยร้าวและลักษณะการวิบัติของคาน B60N

#### 4.1.5 ผลการทดสอบ คานB30C

สำหรับ คานB30C จะเป็นคานคอนกรีตขนาดหน้าตัด 15 \* 20 เซนติเมตร เสริมเหล็กข้ออ้อยขนาดเส้นผ่านศูนย์กลาง 12 มิลลิเมตร โดยเสริมด้านล่าง 2 เส้น และ เสริมด้านบน 2 เส้น และ มีการเสริมเหล็กปลอกเป็นเหล็กเส้นกลม ขนาดหน้าตัด 6 มิลลิเมตร ระยะเรียง 12.5 เซนติเมตร ผ่านการเร่งปฏิกิริยาการเกิดสนิมเป็นระยะเวลา 30 วันในสภาวะแคลเซียมไฮดรอกไซด์

พฤติกรรมการตัดภายใต้้น้ำหนักบรรทุก ในเบื้องต้นได้แสดงด้วยความสัมพันธ์ระหว่างน้ำหนักบรรทุกกับการแอ่นตัวที่กึ่งกลางคาน โดยน้ำหนักบรรทุกของคานจากการทดสอบสามารถรับน้ำหนักสูงสุด (P) ได้เท่ากับ 167.9 กิโลนิวตัน โดยรอยร้าวแรกเกิดขึ้นที่น้ำหนักบรรทุก (P) เท่ากับ 49.8 กิโลนิวตัน ดังที่แสดงในภาพที่ 4.9 จากการสังเกตการแตกร้าวของคาน เห็นได้ว่ามีการแตกร้าว แบบกระจายตัว ซึ่งจะเริ่มมีการแตกร้าวจากบริเวณกึ่งกลางคานแล้วจึงขยายออกมาบริเวณ

ด้านข้าง โดยคานจะเกิดการวิบัติจากแรงเฉือนที่น้ำหนักบรรทุกสูงสุด (P) เท่ากับ 167.9 กิโลนิวตัน เนื่องจากเหล็กปลอกไม่สามารถรับน้ำหนักบรรทุกได้ ดังที่แสดงในภาพที่ 4.10



ภาพที่ 4.9 รอยร้าวแรกของคาน B30C หลังจากให้น้ำหนักบรรทุก

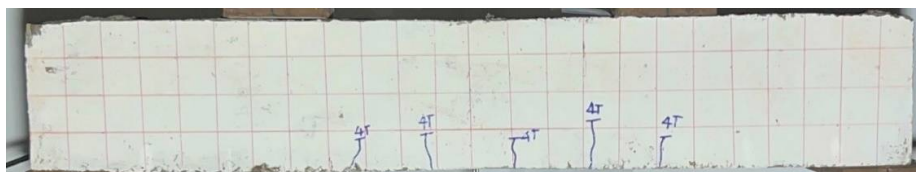


ภาพที่ 4.10 รอยร้าวและลักษณะการวิบัติของคาน B30C

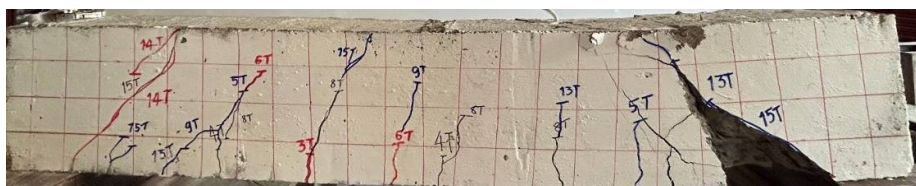
#### 4.1.6 ผลการทดสอบ คานB30M

สำหรับ คานB30M จะเป็นคานคอนกรีตขนาดหน้าตัด 15 \* 20 เซนติเมตร เสริมเหล็กข้ออ้อยขนาดเส้นผ่านศูนย์กลาง 12 มิลลิเมตร โดยเสริมด้านล่าง 2 เส้น และเสริมด้านบน 2 เส้น และมีการเสริมเหล็กปลอกเป็นเหล็กเส้นกลม ขนาดหน้าตัด 6 มิลลิเมตร ระยะเรียง 12.5 เซนติเมตร ผ่านการเร่งปฏิกิริยาการเกิดสนิมเป็นระยะเวลา 30 วันในสภาวะแมกนีเซียมซัลเฟต

พฤติกรรมการตัดภายใต้น้ำหนักบรรทุก ในเบื้องต้นได้แสดงด้วยความสัมพันธ์ระหว่างน้ำหนัก บรรทุกกับการแอ่นตัวที่กึ่งกลางคาน โดยน้ำหนักบรรทุกของคานจากการทดสอบสามารถรับน้ำหนักสูงสุด (P) ได้เท่ากับ 163.2 กิโลนิวตัน โดยรอยร้าวแรกเกิดขึ้นที่น้ำหนักบรรทุก (P) เท่ากับ 49.8 กิโลนิวตัน ดังที่แสดงในภาพที่ 4.11 จากการสังเกตการแตกร้าวของคาน เห็นได้ว่าการแตกร้าว แบบกระจายตัว ซึ่งจะเริ่มมีการแตกร้าวจากบริเวณกึ่งกลางคานแล้วจึงขยายออกมาบริเวณด้านข้าง โดยคานจะเกิดการวิบัติจากแรงเฉือนที่น้ำหนักบรรทุกสูงสุด (P) เท่ากับ 163.2 กิโลนิวตัน เนื่องจากเหล็กปลอกไม่สามารถรับน้ำหนักบรรทุกได้ ดังที่แสดงภาพที่ 4.12



ภาพที่ 4.11 รอยร้าวแรกของคาน B30M หลังจากให้น้ำหนักบรรทุก



ภาพที่ 4.12 รอยร้าวและลักษณะการวิบัติของคาน B30M

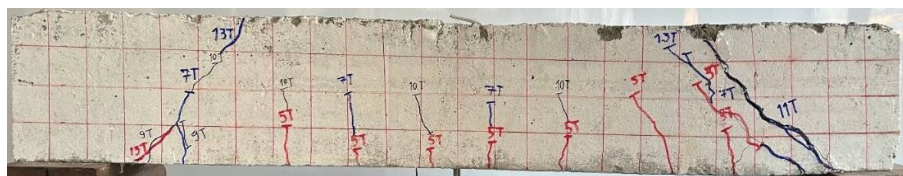
#### 4.1.7 ผลการทดสอบ คานB60M

สำหรับ คานB60M จะเป็นคานคอนกรีตขนาดหน้าตัด  $15 \times 20$  เซนติเมตร เสริมเหล็กข้ออ้อยขนาดเส้นผ่านศูนย์กลาง 12 มิลลิเมตร โดยเสริมด้านล่าง 2 เส้น และเสริมด้านบน 2 เส้น และมีการเสริมเหล็กปลอกเป็นเหล็กเส้นกลม ขนาดหน้าตัด 6 มิลลิเมตร ระยะเรียง 12.5 เซนติเมตร ผ่านการเร่งปฏิกิริยาการเกิดสนิมเป็นระยะเวลา 60 วันในสภาวะแมกนีเซียมซัลเฟต

พฤติกรรมการตัดภายใต้น้ำหนักบรรทุก ในเบื้องต้นได้แสดงด้วยความสัมพันธ์ระหว่างน้ำหนักบรรทุกกับการแอ่นตัวที่กึ่งกลางคาน โดยน้ำหนักบรรทุกของคานจากการทดสอบสามารถรับน้ำหนักสูงสุด (P) ได้เท่ากับ 143 กิโลนิวตัน โดยรอยร้าวแรกเกิดขึ้นที่น้ำหนักบรรทุก (P) เท่ากับ 29.9 กิโลนิวตัน ดังที่แสดงในภาพที่ 4.13 จากการสังเกตการแตกร้าวของคาน เห็นได้ว่าการแตกร้าว แบบกระจายตัว ซึ่งจะเริ่มมีการแตกร้าวจากบริเวณกึ่งกลางคานแล้วจึงขยายออกมาบริเวณด้านข้าง โดยคานจะเกิดการวิบัติจากแรงเฉือนที่น้ำหนักบรรทุกสูงสุด (P) เท่ากับ 143 กิโลนิวตัน เนื่องจากเหล็กปลอกไม่สามารถรับน้ำหนักบรรทุกได้ ดังที่แสดงภาพที่ 4.14



ภาพที่ 4.13 รอยร้าวแรกของคาน B60M หลังจากให้น้ำหนักบรรทุก



ภาพที่ 4.14 รอยร้าวและลักษณะการวิบัติของคาน B60M

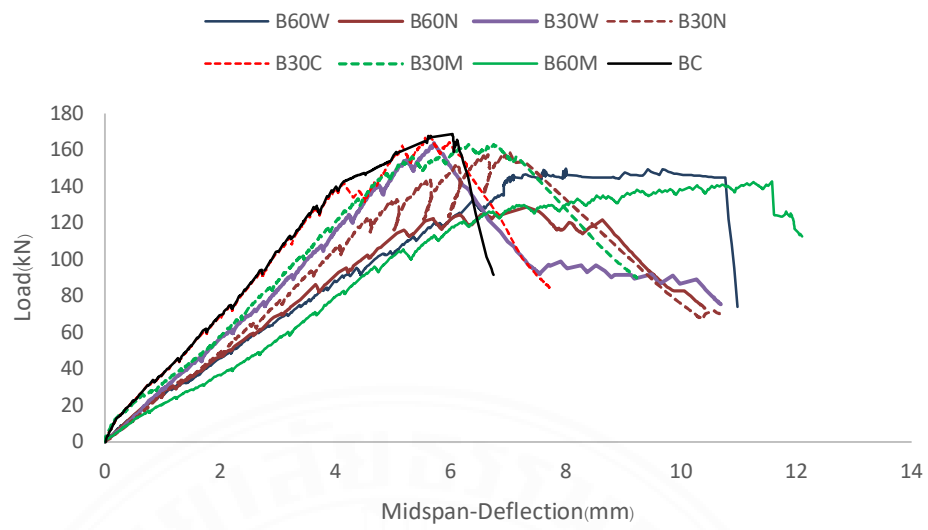
## 4.2 การวิเคราะห์ผลการทดสอบ

### 4.2.1 การเปรียบเทียบน้ำหนักบรรทุกและการแอ่นตัวที่สภาวะประลัยของคานคอนกรีตแต่ละตัวอย่าง

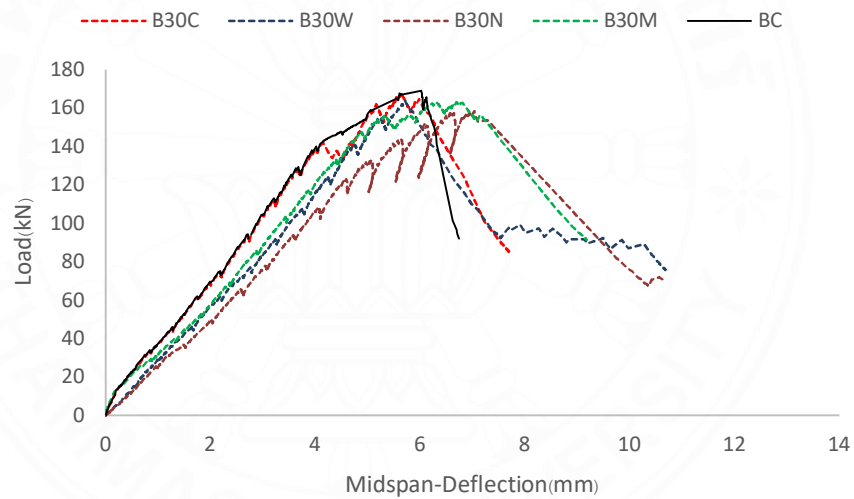
จากผลการทดสอบคานตัวอย่างทั้งหมด 3 ตัวอย่างและนำมาเปรียบเทียบน้ำหนักบรรทุกประลัยสูงสุดที่คำนวณได้ น้ำหนักบรรทุกประลัยสูงสุดที่ได้จากการทดสอบ และค่าการแอ่นตัวที่กึ่งกลางคานที่สภาวะประลัย จะแสดงได้ดังตารางที่ 4.1

ตารางที่ 4.1 ผลการทดสอบคานตัวอย่าง

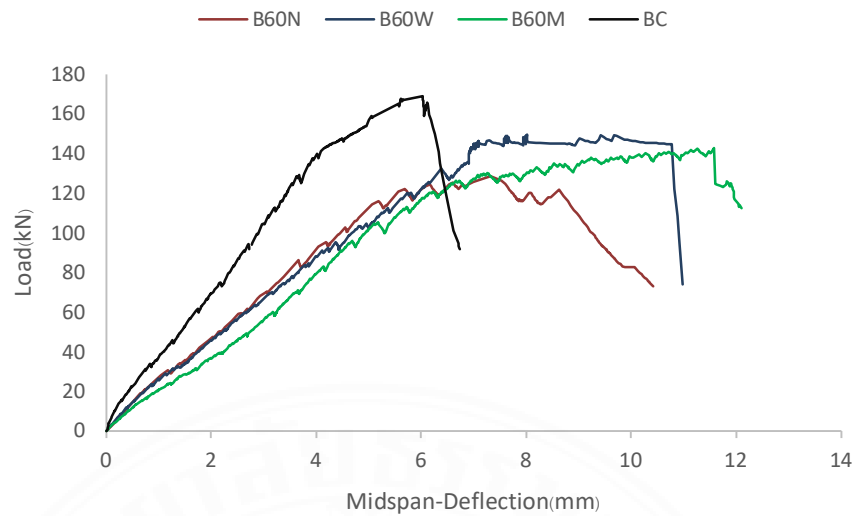
ตัวอย่างคาน	At first shear crack		At Ultimate Load		Mode Failure
	Pcr(kN)	Deflection (mm)	Pult(kN)	Deflection (mm)	
BC	49.8	1.5	169.1	6.0	SC
B30W	39.9	1.5	163.9	5.7	SC
B60W	39.9	1.8	149.8	8.0	SC
B30N	39.9	1.7	158.4	7.0	SC
B60N	59.8	2.6	128.9	7.3	SC
B30C	49.8	1.4	167.9	5.6	SC
B30M	49.8	1.7	163.2	6.3	SC
B60M	29.9	1.6	143.0	11.6	SC



ภาพที่ 4.15 ความสัมพันธ์ระหว่างกำลังรับน้ำหนักและการแอ่นตัวที่จุดกึ่งกลางคาน



ภาพที่ 4.16 ความสัมพันธ์ระหว่างกำลังรับน้ำหนักและการแอ่นตัวที่จุดกึ่งกลางคาน



ภาพที่ 4.17 ความสัมพันธ์ระหว่างกำลังรับน้ำหนักและการแอ่นตัวที่จุดกึ่งกลางคาน

จากผลการทดสอบค่าการแอ่นตัวขณะวิบัติ

คานที่ BC มีค่าการแอ่นตัว 8.3 mm. นำมาเปรียบเทียบกับตัวอย่างคานต่างๆ

เมื่อเปรียบเทียบกับคาน B30W ค่าการแอ่นตัวมีค่าลดลงเท่ากับ  $\left(\frac{8.3-5.7}{8.3}\right)*100 = 31.3\%$

เมื่อเปรียบเทียบกับคาน B60W ค่าการแอ่นตัวมีค่าลดลงเท่ากับ  $\left(\frac{8.3-8}{8.3}\right)*100 = 3.6\%$

เมื่อเปรียบเทียบกับคาน B30N ค่าการแอ่นตัวมีค่าลดลงเท่ากับ  $\left(\frac{8.3-7}{8.3}\right)*100 = 15.7\%$

เมื่อเปรียบเทียบกับคาน B60N ค่าการแอ่นตัวมีค่าลดลงเท่ากับ  $\left(\frac{8.3-7.3}{8.3}\right)*100 = 12\%$

เมื่อเปรียบเทียบกับคาน B30C ค่าการแอ่นตัวมีค่าลดลงเท่ากับ  $\left(\frac{8.3-5.6}{8.3}\right)*100 = 32.5\%$

เมื่อเปรียบเทียบกับคาน B30M ค่าการแอ่นตัวมีค่าลดลงเท่ากับ  $\left(\frac{8.3-6.3}{8.3}\right)*100 = 24.1\%$

เมื่อเปรียบเทียบกับคาน B60M ค่าการแอ่นตัวมีค่าเพิ่มขึ้นเท่ากับ  $\left(\frac{11.6-8.3}{8.3}\right)*100 = 39.8\%$

เปรียบเทียบน้ำหนักบรรทุก

คานที่ BC รับน้ำหนักบรรทุกทุกประลัยสูงสุด 169.1 kN. นำมาเปรียบเทียบกับตัวอย่างคานต่าง

เมื่อเปรียบเทียบกับคาน B30W สามารถรับน้ำหนักลดลง เท่ากับ  $\left(\frac{169.1-163.9}{17}\right)*100 = 3.5\%$

เมื่อเปรียบเทียบกันคาน B60W สามารถรับน้ำหนักลดลง เท่ากับ  $\left(\frac{169.1-149.8}{17}\right)*100 = 11.8\%$

เมื่อเปรียบเทียบกันคาน B30N สามารถรับน้ำหนักลดลง เท่ากับ  $\left(\frac{169.1-158.4}{17}\right)*100 = 6.5\%$

เมื่อเปรียบเทียบกันคาน B60N สามารถรับน้ำหนักลดลง เท่ากับ  $\left(\frac{169.1-128.9}{17}\right)*100 = 24.1\%$

เมื่อเปรียบเทียบกันคาน B30C สามารถรับน้ำหนักลดลง เท่ากับ  $\left(\frac{169.1-167.9}{17}\right)*100 = 0.59\%$

เมื่อเปรียบเทียบกันคาน B30M สามารถรับน้ำหนักลดลง เท่ากับ  $\left(\frac{169.1-163.2}{17}\right)*100 = 3.7\%$

เมื่อเปรียบเทียบกันคาน B60M สามารถรับน้ำหนักลดลง เท่ากับ  $\left(\frac{169.1-143}{17}\right)*100 = 15.3\%$



## บทที่ 5

### บทสรุป

จากการศึกษาประสิทธิภาพการรับแรงเฉือนของคานคอนกรีตเสริมเหล็กที่เหล็กปลอกเป็นสนิมในสถานะที่ต่างกัน โดยทำการทดสอบคานคอนกรีตเสริมเหล็กที่มีขนาดหน้าตัด 15×20 เซนติเมตร ยาว 120 เซนติเมตร จำนวน 8 คาน ที่เหล็กปลอกผ่านการเร่งสนิม กำหนดระยะเวลาในการเร่งสนิม 30 และ 60 วัน ภายใต้ 4 สถานะได้แก่ สถานะน้ำ สารละลายโซเดียมคลอไรด์ สารละลายแมกนีเซียมซัลเฟต และ สารละลายแคลเซียมไฮดรอกไซด์ ทำการทดสอบกำลังรับแรงเฉือนของคานเปรียบเทียบระหว่างคานที่เหล็กปลอกเกิดสนิมเนื่องจากกระบวนการเร่งปฏิกิริยาสนิมกับคานที่ไม่ได้ผ่านกระบวนการเร่งปฏิกิริยาสนิม (คานควบคุม) สามารถสรุปผลได้ดังนี้

คานตัวอย่างที่มีการเร่งปฏิกิริยาสนิมบริเวณเหล็กปลอกในสถานะโซเดียมคลอไรด์ส่งผลให้ความสามารถในการรับน้ำหนักบรรทุกสูงสุดลดลงมากที่สุด โดยคานตัวอย่าง B30N สามารถรับน้ำหนักบรรทุกได้ลดลง 6.4% และ คานตัวอย่าง B60N สามารถรับน้ำหนักบรรทุกได้ลดลง 23.8% เมื่อเทียบกับคานควบคุม(คานตัวอย่าง BC) ที่ไม่ได้มีการเร่งปฏิกิริยาสนิม ในส่วนของคานตัวอย่างที่มีการเร่งปฏิกิริยาสนิมบริเวณเหล็กปลอกในสถานะแมกนีเซียมซัลเฟตและน้ำมีความสามารถในการรับน้ำหนักบรรทุกสูงสุดที่ลดลงเป็นอัตราที่น้อยกว่าสถานะโซเดียมคลอไรด์ตามลำดับ

คานตัวอย่างที่มีการเร่งปฏิกิริยาสนิมบริเวณเหล็กปลอกในสถานะแคลเซียมไฮดรอกไซด์มีความสามารถในการรับน้ำหนักบรรทุกสูงสุดลดลงจากคานควบคุมเพียงเล็กน้อยหรือเทียบเท่ากับคานควบคุม

#### ข้อเสนอแนะ

1. ควรทำการทดสอบการเร่งปฏิกิริยาการเกิดสนิมในระยะเวลาที่มากกว่า 60 วัน เพื่อความแตกต่างที่ชัดเจนมากขึ้นในการวิเคราะห์ผล

## รายการอ้างอิง

- R H Shehab, A S Mahmoud, Y A Mansoor. (2020). The effect of corroded stirrups on shear behavior of reinforced concrete beams
- Jin Xia, Wei-liang Jin, Long-yuan Li. (2020). Shear performance of reinforced concrete beams with corroded stirrups in chloride environment. School of Civil Engineering, University of Birmingham, Birmingham B15 2TT, UK.
- Abdullah A. Almusallam. (2001). Effect of degree of corrosion on the properties of reinforcing steel bars. Department of Civil Engineering, King Fahd University of Petroleum and Minerals, Dhahran 31261, Saudi Arabia
- H.S. Wong, Y.X. Zhao, A.R. Karimi, N.R. Buenfeld, W.L. Jin. (2010). On the penetration of corrosion products from reinforcing steel into concrete due to chloride induced corrosion, *Corros.Sci.* 52 (2010) 2469–2480
- Inamullah K, Raoul F and Arnaud C. (2014). Experimental and analytical study of corroded shear critical reinforced concrete beams *Mater. Struct.* 47 1467–1481.
- Lei X Z, Jianren Z, Yafei M and Yongming L. (2015). Effects stirrup and inclined bar corrosion on shear behavior of RC beams. *Constr. Build. Mater* 98 537– 546.
- Christopher S, Ahmed E and Khaled S. (2010). Shear strength of disturbed regions with corroded stirrups in reinforced concrete beams. *Can. J. Civ. Eng.* 37 1045–1056.
- Yuan, Y., Ji, Y., Shah, S.P. (2007). Shear Comparison of Two Accelerated Corrosion Techniques for Concrete Structures. *ACI Struct. J.* 2007,104, 344–347
- Ahmed E., Raja R.H., Ahmed B.S. (2016). Influence of stirrup corrosion on shear strength of reinforced concrete slender beams. *ACI Struct. J.* 113 1223–1232.
- Rodriguez J, Ortega L M, Casal J. (1997). Load carrying capacity of concrete structures with corroded reinforcement. *Constr. Build. Mater.* 11 239–248.
- N.A. Taha, M. Morsy. (2015). Study of the behavior of corroded steel bar and convenient method of repairing. *HBRC Journal*
- Saifullah M. (1994). Effect of Reinforcement Corrosion on Bond Strength in Reinforced Concrete. Ph. D. thesis, The University of Birmingham, UK.
- Ye Z, Zhang W, Gu X. (2018). Deterioration of shear behavior of corroded reinforced concrete beams. *Eng Struct* 2018;168:708–20.

- Wang L, Zhang X, Zhang J, Ma Y, Liu Y. (2015). Effects of stirrup and inclined bar corrosion on shear behavior of RC beams. *Constr Build Mater* 2015;98:537–46
- Xia J, liang Jin W, Yuan Li L. (2011). Shear performance of reinforced concrete beams with corroded stirrups in chloride environment. *Corros Sci* 2011;53:1794–805.
- Xia, J., Jin, W.-L., Li, L.-Y. (2012). Effect of Chloride-Induced Reinforcing Steel Corrosion on the Flexural Strength of Reinforced Concrete Beams. *Mag. Concr. Res.* 2012, 64, 471–485.
- Ahmed K. EL-SAYED, Raja R. HUSSAIN, Ahmed B. SHURAIM. (2016). EFFECT OF STIRRUP CORROSION ON THE SHEAR STRENGTH OF REINFORCED CONCRETE SHORT BEAMS. *JOURNAL OF CIVIL ENGINEERING AND MANAGEMENT* ISSN 1392-3730/eISSN 1822-3605
- Higgins, C., Farrow, W. C. (2006). Tests of reinforced concrete beams with corrosion damaged stirrups. *ACI Structural Journal* 103(1): 133–141.
- Ahmad, S., Al-Huri, M.A., Al-Osta, M.A., Maslehuddin, M., Al-Gadhib, A.H. (2022). An Experimental Approach to Evaluate the Effect of Reinforcement Corrosion on Flexural Performance of RC Beams. *Buildings* 2022, 12, 2222.
- Azad, A.K., Ahmad, S., Azher, S.A. (2007). Residual Strength of Corrosion-Damaged Reinforced Concrete Beams. *ACI Mater. J.* 2007, 104, 40–47.

## ประวัติผู้เขียน

ชื่อ วศิน สุชาติพงษ์  
วุฒิการศึกษา ปริญญาโท วิศวกรรมศาสตรบัณฑิต  
มหาวิทยาลัยธรรมศาสตร์

### ผลงานทางวิชาการ

บทความการประชุมวิชาการชื่อบทความ “ประสิทธิภาพการรับแรงเฉือนของคานคอนกรีตเสริมเหล็กที่เหล็กปลอกเป็นสนิมในสถานะที่ต่างกัน” ในการประชุมวิชาการวิศวกรรมโยธา ครั้งที่ 29 วันที่ 29-31 พฤษภาคม ณ ศูนย์ประชุมนานาชาติดิเอ็มเพรส จังหวัดเชียงใหม่ จัดการประชุมโดยวิศวกรรมสถานแห่งประเทศไทย ในพระบรมราชูปถัมภ์ ร่วมกับ ภาควิชาวิศวกรรมโยธา คณะวิศวกรรมศาสตร์ มหาวิทยาลัยธรรมศาสตร์ ศูนย์รังสิต

